

现代应用数学丛书

# 结晶统计与代数

〔日〕伏见康治 庄司一郎 著

上海科学技术出版社

57.9  
232

现代应用数学丛书

# 结晶统计与代数

〔日〕 伏見康治 著  
庄司一郎

孙 澤 瀛 譯  
張 宗 燧 校

上海科学技术出版社



## 內 容 提 要

本书是日本岩波书店出版的现代应用数学丛书之一的中译本,介绍将代数学应用到晶体的秩序化现象上去的一些理论。全书共分三章,前二章叙述一些基本概念及有关表里变换、 $Y$ - $Z$ 变换的理论,第三章介绍代数的解法。可供高等学校数学系、物理系师生及科研工作者作参考。

现代应用数学丛书

### 结 晶 统 计 与 代 数

原 书 名 結晶統計と代数

原 著 者 (日) 伏見康治  
庄司一郎

原出版者 岩波书店 1957

譯 者 孙 泽 瀛

校 者 張 宗 懋

\*

上海科学技术出版社出版

(上海瑞金二路150号)

上海市书刊出版业营业许可证出 003 号

新华书店上海发行所发行 各地新华书店经售

商务印书馆上海厂印刷

\*

开本 850×1168 1/32 印张 1 28/32 字数 42,000

1962 年12月第1版 1962 年12月第1次印刷

印数 1—3,600

統一书号: 13119 · 488

定 价: (十四) 0.34 元

## 出版說明

这一套书是根据日本岩波书店出版的“現代应用数学讲座”翻譯而成。日文原书共 15 卷 60 册,分成 A、B 兩組,各編有序号。現在把原来同一題目分成兩册或三册的加以合并,整理成 42 种,不另分組編号,陸續翻譯出版。

这套书涉及的面很广,其內容都和現代科学技术密切有关,有一定参考价值。每一本书收集的資料都比較丰富,而敘述扼要,篇幅不多,有利于讀者以較短時間掌握有关学科的主要內容。虽然,这套书的某些观点不尽适合于我国的情况,但其方法可供参考。因此,翻譯出版这一套书,对我国学术界是有所助益的。

由于日文原书是 1957 年起以讲座形式陸續出版的,写作時間和篇幅的限制不可避免地会影响原作者对內容的处理,为了尽可能地减少这种影响,我們在每一譯本中,特請譯者或校閱者撰写序或后記,以介紹有关学科的最近发展状况,并对全书內容作一些評价,提出一些看法,結合我国情况补充一些資料文献,在文內过于簡略或不足的地方添加了必要的注釋和改正原书中存在的一些錯誤。希望这些工作能对讀者有所帮助。

承担翻譯和校閱的同志,为提高书籍的质量付出了巨大劳动,在此特致以誠摯的謝意。

欢迎讀者对本书提出批評和意見。

上海科学技术出版社

# 目 录

## 出版說明

第1章 緒 論 .....	1
§ 1 Boltzmann 因子,状态和,热力学的平均值 .....	1
§ 2 Ising 模型,矩陣方法,一維結晶 .....	6
第2章 表里变换, $Y-A$ 变换 .....	13
§ 3 表里变换 .....	13
§ 4 $Y-A$ 变换 .....	17
§ 5 籠眼格子 .....	19
第3章 代数的解法 .....	25
§ 6 二維四角格子之矩陣 .....	25
§ 7 抽象代数的說法 .....	27
§ 8 表里变换 .....	28
§ 9 $2^n$ 維的代数,自旋表現 .....	31
§ 10 由 $p, q$ 所成的 $V$ 之表現 .....	34
§ 11 各种代数量 .....	35
§ 12 各种代数关系 .....	38
§ 13 特征值問題之解法 .....	42
§ 14 状态和及热力学的各种量 .....	50
参考文献 .....	53
校后記 .....	55

# 第1章 緒 論

## §1 Boltzmann 因子, 状态和, 热力学的平均值

与保持绝对温度  $T^\circ\text{K}$  的恒温槽作热接触的平衡体系, 其呈现能量  $E$  的‘状态’概率是与

$$\exp(-E/kT) \quad (1.1)$$

成比例的。这里的  $k$  是 Boltzmann 常数, 其数值是  $1.38 \times 10^{-16}$  (erg/度)。(1.1) 称为 Boltzmann 因子。如果这个状态处于简并(degeneration)的情况, 那就是说, 有好些个状态共有同一能量值  $E$  的情况, 这时, 对于这些状态的全体, 在(1.1)之前不能不用状态总数  $g$  去乘。 $g$  称为这时的统计权重(statistical weight)。

作为概率而言, Boltzmann 因子还不是归一化的, 真正的概率应该是就所有的状态归并而得的

$$Z(T) \equiv \sum_i \exp(-E_i/kT) \quad (1.2)$$

去除(1.1)。由(1.2)规定的  $Z$  叫做状态和, 我们知道体系的热力学性质可归结到  $Z$  的函数形式中去考虑。其最显明的例证从求体系的能量平均值就可看出:

$$\begin{aligned} \langle E \rangle &= \sum_i E_i \exp(-E_i/kT) / Z(T) \\ &= - \frac{\partial}{\partial(1/kT)} [\log Z(T)], \end{aligned} \quad (1.3)$$

这就是说, 能量平均值是由状态和关于温度的倒数作对数微分而得到的。从此, 我们还知道体系之热容量  $C$  是由下式给定的:

$$C = \frac{\partial \langle E \rangle}{\partial T} = \frac{k}{T^2} \frac{\partial^2}{\partial(1/kT)^2} [\log Z(T)]. \quad (1.4)$$

如果考虑的体系规定为力学系, 那就不能不指定若干个参数

值。例如在气体的情况下，容納气体的容器之体积  $V$  就成为問題了（就力学来讲，这个容器之詳細描述，例如說，是正六面体，其三棱之长是  $a, b, c$  等，是必要的；就討論热平衡的統計力学来讲，只有积  $V = abc$  才是起着作用的）。設有一个参数是  $x$ ，限定它緩慢地、准靜地 (quasi-static) 而且絕热地 (adiabatic) 只变化  $dx$  时，外部对于这个体系所作的功写作  $Xdx$ ，那么， $X$  可以看成是沿参数  $x$  之增长方向所加的“力”。根据統計力学所教示的，力  $X$ （其平均值）可从状态和的知識利用

$$X = -kT \cdot \frac{\partial}{\partial x} [\log Z(T)] \quad (1.5)$$

而求得。参数  $x$  包含在規定状态和的各个能量值  $E_i$  之中。試就特殊情况来考虑，例如說，容納气体的容器之体积  $V$  增加了  $dV$ （即膨胀），这时对于气体所作的功（将上述一般定义中的符号改换一下）写成  $-PdV$ ，这里的系数  $P$  特別称做压力，这压力可由公式

$$P = +kT \cdot \frac{\partial}{\partial V} [\log Z(T)] \quad (1.6)$$

求出。再例如磁性体。設磁矩为  $M$ ，使其产生这样的磁化所必需的外部磁場之强度为  $\mathfrak{H}$ ， $-Md\mathfrak{H}$  是磁場增强情况下所出現的能量。这时相当于(1.5)我們有形式

$$M = +kT \cdot \frac{\partial}{\partial \mathfrak{H}} [\log Z(T)] \quad (1.7)$$

由于从 (1.3) 与 (1.5) 两式可以推导出体系的全部热力学性质，所以討論統計力学归結为計算状态和  $Z$ 。要求状态和，首先对所考虑的物质体系制訂出适当的力学模型是必要的，由此，确定能量的特征值  $E_i$ 。前一阶段的事属于整个物理学的问题，从决定了力学結構（亦即决定体系的 Hamilton 函数）因而确定能量特征值  $E_i$ ，这件事属于力学，特別是量子力学的課題。因此，我們可以这样讲，統計力学所从事的是利用数学来处理状态和的总和。

在計算状态和时, 有二項規則, 利用了它們, 有时可使問題簡單化。这二項規則是

(i) 如果一个体系的状态經分类后, 可以分成二部分, 則体系全体之状态和可以用各个部分的状态和加在一起所成的和来表示:

$$Z(T) = Z'(T) + Z''(T). \quad (1.8)$$

(ii) 如果一个体系实际上是由二个体系合成的, 部分体系間的相互作用可以忽視的話, 則可由各个部分系之状态和所成乘积得到合成系的状态和:

$$Z(T) = Z_1(T) \cdot Z_2(T). \quad (1.9)$$

从以上二个規則看来, 状态和恰好具有概率同样的性质。特別就合成体系而論, 虽說部分体系間有能量的授受关系, 事实上, 部分体系的状态間是相关的, 在概率上它們并不是独立的, 但对状态和而言, 恰如独立事件的概率一样地去处理就成了。

合成系的能量  $E$  是部分系的能量  $E^{(1)}$ ,  $E^{(2)}$  之和, 如注意到指数函数的相乘:  $\exp(-E/kT) = \exp(-E^{(1)}/kT) \exp(-E^{(2)}/kT)$ , 則(1.9)馬上就可推导出来。

在处理所謂理想气体以及其他理想体系时, 規則(1.9)肯定地是一项有力的武器。理想气体是分子的集合, 它是这样一种体系: 对于分子本身具有的能量而論, 可以忽視分子間相互作用的能量。这时如果多次地使用規則(1.9), 則含有  $N$  个分子的气体, 其全体之状态和  $Z^{(N)}$  就是一个分子的状态和  $Z^{(1)}$  的  $N$  乘方:

$$Z^{(N)}(T) = [Z^{(1)}(T)]^N. \quad (1.10)$$

这里, 即使分子总数  $N$  是 Avogadro 数  $6.02 \times 10^{23}$  这样程度的大数, 求状态和时, 也并不費很大的事。

即使体系各分子間的相互作用是显著的, 由于改变一下看法, 有时可以把原体系当作一种理想体系来考虑。例如, 研究晶体格



子的热运动时,虽说分子間的相互作用很显著,不能忽视,但根据微小振動理論,仅限于靠近晶体格子平衡点的运动而論,它可以看成标准振动形态的重合,因此,不妨当做独立振动系的合成去处理。

但是还有这样的体系,无论怎样改变看法,总不能看成理想体系或其近似的体系。单糾纏在这种体系的处理方法,因为没有好办法,就說搞不好是不对的,事实上这体系在本质上是和理想体系有差异的。到底所謂本质上的差异从何处体现出来?首先出现在热容量的异常現象。

根据公式(1.4),热容量 $C$ 是状态和的对数經二回微分得出的。如果体系是理想体系,状态和采取(1.10)的形式,应看成 $\infty$ 的大数 $N$ 使得全体成为这样的大数,这时提出 $C$ 的函数形式成为沒有意义,因此,只有在有限的 $Z^{(1)}(T)$ 时 $C$ 的函数形式才可确定。由于 $Z^{(1)}(T)$ 单是指数函数的和(即使是无穷項的和,但通常是收斂的),而指数函数的解析性质是已知的,它的变化是不穩的。

但是实际的物质体系,其热容量作为温度的函数而論,出現奇异点的情况并不算少。

有关这种奇异点所熟知的例子,有随伴着融解或蒸发(所謂相轉移)的潛热現象。在进行融解或蒸发时,由于加热而体系的温度不变,所以可倒过来讲,体系的内部能量 $E$ 作为温度的函数看待是阶段上升的,由 $E$ 經微分而得的热容量 $C$ 呈現出 $\delta$ -函数<sup>①</sup>的奇异点。

較近发现的热容量之奇异性和上述 $\delta$ -函数的变化比較起来是略为平穩的,有时在某一温度热容量曲綫的变化是急遽上升,过

①  $\delta$ -函数 $\delta(x)$ 按照函数的正規意义讲来,并不是真正的函数,它是为了应用上的便利,作为使用的一种工具而已。首先是由 Dirac 使用的,形式上,它当做不連續函数 $\varepsilon(x)$ 的导函数而规定的,这里的 $\varepsilon(x)$ 满足 $\varepsilon(x)=0$  ( $x<0$ ),  $\varepsilon(x)=1$  ( $x>0$ )。可以考虑到 $\delta(x)$ 在 $x=0$ 时是 $\infty$ ,在其他各处取0值。——譯者注

此以后, 突然地降落下来, 这种现象主要从固体的观测中得到。最明显的例子是强磁性体靠近 Curie 点<sup>①</sup>的热容量之异常性。就铁 Fe 来讲, 其 Curie 点在  $1043^{\circ}\text{K}$  ( $=770^{\circ}\text{C}$ ), 超过这温度铁的强磁性就失去, 同时在这一温度上, 比热的异常现象就出现如上述的情况。另一个典型的例子是出现在黄铜的比热之异常现象。铜 Cu 与锌 Zn 以一原子对一原子的比例所合成的  $\beta$ -黄铜<sup>②</sup>, 其热容量作为温度的函数看待时, 在  $780^{\circ}\text{K}$  处发生上述意义的异常现象。根据 X-射线的绕射研究知道这种异常现象是由于在合金的晶格上出现铜原子与锌原子交互排列的有秩序状态与无秩序状态的交替而引起的。

这种热容量曲线的异常现象, 其形象有如希腊字母  $\lambda$ , 总称之为  $\lambda$ -现象。这种曲线的异常性就数学而论到底是怎样一回事? 其突起之处是否无穷尽地延伸出去? 或者是虽有突起之处, 但是有限的, 只不过存在着有限的出入? 这些问题根据实验还不能明白地解答。无论是怎样一种情况, 对于象蒸发那样有关潜热的第一种相变化, 我们称这种有关热容量异常性的相变化为第二种相变化。

第一种相变化也好, 第二种相变化也好, 反正具有象热容量之奇异点的那些体系不是理想体系。那是由于某种分子间的强相互作用所引起的, 不能从近似于理想体系的出发点去进行讨论。这时的现象应该说相互作用成为主要的因素, 一个分子的状态变化时, 通过相互作用引起其他分子的状态变化, 由于这种变化的传递, 最后引起物质全体的显著的变化, 随着这样的变化可以想象到有許多能量被吸收了。这种现象总称之为协调现象 (cooperative phenomena)。

---

① 所谓 Curie 点即磁性变态点。——译者注

② 呈现变态性质的一种黄铜。——译者注

說明協調現象的理論，完全不能使用有关状态和之乘积定理，因此，在数学上是一桩困难的事。但是在十几年前，久保亮五，Kramers-Wannier 等人为了处理結晶的統計力学，創立了‘矩陣方法’与‘特征值問題的方法’，总算有了解决問題的数学工具，L. Onsager 在这基础上，成功地求得了象平面四角晶格的 Ising 模型这类特殊問題的严密解。原作者(指伏見康治，庄司一郎)以及 Houtapfel, Temperley 等人对于不同的晶体格子型处理了类似的問題。还有 Kac 与 Ward 对于四角格子的問題在采用的方法上和上述諸人完全不同，利用組合論的方法求解，达到了同样的結果。

以上是在不考虑外部磁場的情况下求解的，对于外部磁場的强度  $\mathcal{S}$  是有限的情形，問題就变得非常复杂，还不能求解。然而对于强磁性物质的特性，自发磁性，亦即把外部磁場的强度当做 0 时所殘留下来的磁矩

$$I = \lim_{\mathcal{S} \rightarrow 0} kT \frac{\partial \log Z(T)}{\partial \mathcal{S}},$$

利用摄动論的方法，C. N. Yang (譯者按：即楊振宁) 把它求出来了。其論述是非常复杂的，本书內无法提到，但結果是非常简单的。注意到这种簡單性，Potts 从对称性的考虑出发，把这项結果扩充到三角格子，納(譯者注：日本人名)更扩充到蜂巢格子(按即六角格子)以及如籠眼型的平面晶格，获得了圓滿的結果。

## §2 Ising 模型，矩陣方法，一維結晶

以下的討論完全是关于强磁性体的 Ising 模型，首先，对它进行說明。

为了說明物质的强磁性，有 Heisenberg 的学說，就簡單情况加以叙述，則先假定晶格各格子点上的原子分別具有自旋(spin)。

自旋可用 2 行 2 列的矩陣向量  $\sigma = (\sigma_x, \sigma_y, \sigma_z)$  来表示;

$$\sigma_x^2 = \sigma_y^2 = \sigma_z^2 = 1, \sigma_x \sigma_y = i \sigma_z, \sigma_y \sigma_z = i \sigma_x, \sigma_z \sigma_x = i \sigma_y,$$

$$\sigma_x = \begin{pmatrix} 0 & 1 \\ 1 & 0 \end{pmatrix}, \sigma_y = \begin{pmatrix} 0 & -i \\ i & 0 \end{pmatrix}, \sigma_z = \begin{pmatrix} 1 & 0 \\ 0 & -1 \end{pmatrix}. \quad (2.1)$$

作为晶格全体的自旋系所具有的能量, 可考虑形式

$$H = - \sum_{\langle ij \rangle} J_{ij} \sigma_i \cdot \sigma_j. \quad (2.2)$$

$\sigma_i$  是第  $i$  个格子点原子的自旋量,  $J_{ij}$  被称为作用于  $i$  原子和  $j$  原子間的交換能量。由于在多数情况下, 只有直接相邻的原子間才有  $J_{ij}$ , 所以上述的  $H$  式內的总和是对于一切相邻的原子对进行的。此外, 对于从外部以磁場  $\mathfrak{H}$  沿  $z$  方向作用于物体的情况, 则上述的 Hamilton 函数可扩充为形式

$$H = - \sum_{\langle ij \rangle} J_{ij} \sigma_i \cdot \sigma_j - \nu \mathfrak{H} \sum_i \sigma_{iz}. \quad (2.3)$$

无論是那一种 Hamilton 函数, 要严密地求其特征值, 是非常困难的。在有  $N$  个原子存在的情况下, 必須把 2 行 2 列的矩陣代数改变成  $N$  个直积所成的复杂代数去处理。

虽說上述的 Heisenberg 学說已經把問題簡單化了, 而且构成一个模型, 但 Ising 模型把問題更簡化了。它是这样的: 把量子力学的变量  $\sigma$  (即矩陣量) 用古典的变数  $\mu$  去代換。不过这时要假定  $\sigma$  之  $z$  分量  $\sigma_z$  的特征值相当于  $\pm 1$ ,  $\mu$  是只有二个数值  $+1$  与  $-1$  的变数。这时, 为了說明自旋間相互作用的項, 讓我們只取出一对自旋来考虑。

$\sigma_1 \cdot \sigma_2$  之特征值是 1 与  $-3$ , 前者是三重簡并, 后者是一重簡并。如用通俗的話来讲, 前者相当于二个自旋处于平行的情况, 后者相当于自旋处于逆平行、整个自旋成为 0 的情况。使用古典的自旋变数  $\mu_1$  与  $\mu_2$ , 相互作用的項以  $-J\mu_1\mu_2$  表示, 这就是 Ising 模型, 这个  $\mu_1\mu_2$  之“特征值”是  $+1$  和  $-1$ , 其統計权重同为 2 ( $\mu_1$

$=\mu_2=1$  或  $\mu_1=\mu_2=-1$  时,  $\mu_1\mu_2=+1$ ;  $\mu_1=-\mu_2=1$  或  $\mu_1=-\mu_2=-1$  时,  $\mu_1\mu_2=-1$ ). 因此, 就特征值的全体而論, 其个数以及特征值的先驗 (a priori) 平均值在 Heisenberg 学說与 Ising 学說看来是相同的, 但就个别的特征值而論, 两种說法間有相当的差別。如果同时考虑一对以上的交互作用, 則由于大体上不是交換的原故, 討論是非常繁难的, 不能对两学說进行简单的比較。

假設我們容許如上述那样和“真实”的理論略有一点差距的說法, 則在 Ising 模型里假定强磁性体的能量采取形式

$$E(\cdots\mu_i\cdots) = -J \sum_{\langle ij \rangle} \mu_i \mu_j - \nu \sum_i \mu_i. \quad (2.4)$$

第一总和是就所有的相邻原子而言, 所有的  $\mu_i$  是任意独立地取  $\pm 1$  这两个数值。因此, 在 Ising 模型里, Hamilton 函数的特征值問題是解决了, 剩下的問題是关于如何实际进行統計力学状态和的总和

$$Z(T) = \sum_{\{\mu=\pm 1\}} \exp(-E\{\mu\}/kT). \quad (2.5)$$

其次試討論所謂的一維物质。这是通过某一单位胞反复运行构成一維联系的东西。表示一个单位力学系之状态的变数 (不一定考虑 Ising 模型) 記作  $x$ 。因此, 这单位系的能量自然可看成  $x$  的函数而写为  $E(x)$ , 相邻的单位系間引起的相互作用写成  $F(x_1, x_2)$ , 是二个变数的函数。分离的单位系間假定不发生作用。在这样的假定下, 单位系由某处到某处串联而成的鎖状体系全体的能量应取如下的形式:

$$E = \cdots + E(x_1) + F(x_1, x_2) + E(x_2) + F(x_2, x_3) + \cdots, \quad (2.6)$$

把它写在指数函数的右肩上, 对各  $x$  进行总和就求得了状态和。

这时如果  $x$  是  $x_2$ , 就关于  $x_3$  进行求和, 我們注意到含有  $x_2$  的項数明显地很少。因此如令

$$M(x_2, x_3) = \exp \left\{ -\frac{E(x_2) + F(x_2, x_3)}{kT} \right\}, \quad (2.7)$$

則所求的狀態和有形式

$$Z = \sum_{x_1 x_2 \dots} \dots M(x_1, x_2) M(x_2, x_3) M(x_3, x_4) \dots \quad (2.8)$$

這就是說, 如果把  $M(x', x'')$  看成是  $x'$  和  $x''$  所構成的矩陣元素, 那麼, 狀態和之總和與矩陣乘法里出現的總和是同樣性質的。為了在表面上看出計算處理的技巧而並不影響到本質, 我們把一維物質的頭和尾連串起來組成環狀形態來處理。

這樣進行的話, 上式最後的因子是  $M(x_n, x_1)$ , 而  $Z$  可寫成

$$Z = \text{Trace}(M^n). \quad (2.9)$$

這裡的  $M$  是以  $M(x_1, x_2)$  等作為元素的矩陣,  $M^n$  是在矩陣乘法的意義上所構成的  $n$  乘方, 還有符號 Trace 表示迹, 那就是矩陣的对角元素之和。

採取了如上的形式, 那麼, 無論  $n$  有多大,  $Z$  之計算不會是困難的。具體地講, 如把  $M$  化為對角矩陣

$$S^{-1}MS = \begin{pmatrix} \lambda_1 & 0 & 0 & \dots \\ 0 & \lambda_2 & 0 & \dots \\ 0 & 0 & \lambda_3 & \dots \\ \dots & \dots & \dots & \dots \end{pmatrix},$$

根據迹的對稱性, 有

$$\begin{aligned} Z &= \text{Trace}((S^{-1}MS)^n) = \text{Trace} \begin{pmatrix} \lambda_1^n & 0 & 0 & \dots \\ 0 & \lambda_2^n & 0 & \dots \\ 0 & 0 & \lambda_3^n & \dots \\ \dots & \dots & \dots & \dots \end{pmatrix} \\ &= \lambda_1^n + \lambda_2^n + \lambda_3^n + \dots \end{aligned} \quad (2.10)$$

如把  $M$  的特徵值中最大的記作  $\lambda_1$ , 在  $n \rightarrow \infty$  時,  $Z$  可估計為

$$Z \simeq \lambda_1^n. \quad (2.11)$$

因此, 問題歸結為求  $M$  的最大特徵值。

上面所寫的  $M$  並不是對稱矩陣, 但使它對稱化也很簡單; 把

$$\exp \left[ - \left\{ \frac{1}{2} E(x_1) + F(x_1, x_2) + \frac{1}{2} E(x_2) \right\} / kT \right] \quad (2.12)$$

考虑成  $M(x_1, x_2)$  这样的矩陣元素就可以了。因此,  $M$  的特征值問題一定是可解决的。

現在我們試以这种‘矩陣方法’适用于原子排成一系列、各原子的自旋变数是  $\mu$  的情况。对于  $\mu_1, \mu_2 = \pm 1$ , 考虑以

$$M(\mu_1, \mu_2) = \exp(h\mu_1 + H\mu_1\mu_2), \text{ 这里的 } h = \frac{\nu\mathfrak{H}}{kT}, H = \frac{J}{kT}$$

作为元素的矩陣。詳細写出的話,那就是

$$\begin{aligned} M &= \begin{pmatrix} M(+1, +1) & M(+1, -1) \\ M(-1, +1) & M(-1, -1) \end{pmatrix} \\ &= \begin{pmatrix} e^{h+H} & e^{h-H} \\ e^{-h+H} & e^{-h-H} \end{pmatrix} = \begin{pmatrix} e^h & 0 \\ 0 & e^{-h} \end{pmatrix} \begin{pmatrix} e^H & e^{-H} \\ e^{-H} & e^H \end{pmatrix}. \end{aligned} \quad (2.13)$$

特征方程是

$$\begin{vmatrix} e^{h+H} - \lambda & e^{h-H} \\ e^{-h+H} & e^{-h-H} - \lambda \end{vmatrix} = 0,$$

其較大的特征根是

$$\begin{aligned} \lambda_1 &= e^H \cdot \cosh(h) + \sqrt{e^{2H} \cosh^2(h) - 2 \sinh(2H)} \\ &= e^H \cosh(h) + \sqrt{e^{2H} \sinh^2(h) - e^{-2H}}. \end{aligned}$$

这式的  $n$  乘方就是状态和  $Z$ . 因此, 这种一維磁性体的能量与磁距是可以計算的:

$$E = -n \frac{\partial \log \lambda_1}{\partial (1/kT)} = -nJ \frac{\partial \log \lambda_1}{\partial H} - n\nu\mathfrak{H} \frac{\partial \log \lambda_1}{\partial h}, \quad (2.14)$$

$$\begin{aligned} M &= + n k T \frac{\partial \log \lambda_1}{\partial \mathfrak{H}} = n\nu \frac{\partial \log \lambda_1}{\partial h} \\ &= n\nu \frac{\sinh(h)}{\sqrt{\sinh^2(h) + e^{-4H}}}. \end{aligned} \quad (2.15)$$

为了以后处理更复杂情况的方便起見, 我們引进两个作用于  $\mu$  之函数的运算符:

$$(Uf)(\mu) = f(-\mu), \quad (sf)(\mu) = \mu f(\mu). \quad (2.16)$$

这些运算符如用矩陣表示的話, 則可写成

$$C = \begin{pmatrix} 0 & 1 \\ 1 & 0 \end{pmatrix}, \quad s = \begin{pmatrix} 1 & 0 \\ 0 & -1 \end{pmatrix}. \quad (2.17)$$

由于有

$$C^2 = 1, \quad s^2 = 1, \quad Cs = -sC \quad (2.18)$$

的原故, 所以  $1, s, C, isC$  构成和 Hamilton 四元数或 Pauli 之自旋矩陣  $1, \sigma_z, \sigma_x, \sigma_y$  完全同构的代数之基底。使用了这样两个矩陣, 則前面出現过的矩陣可写成如下的形式:

$$\begin{pmatrix} e^h & 0 \\ 0 & e^{-h} \end{pmatrix} = \begin{pmatrix} \cosh(h) + \sinh(h) & 0 \\ 0 & \cosh(h) - \sinh(h) \end{pmatrix} \\ = 1 \cdot \cosh(h) + s \cdot \sinh(h) = \exp(hs), \quad (2.19)$$

$$\begin{pmatrix} e^{H^*} & e^{-H^*} \\ e^{-H} & e^H \end{pmatrix} = 1 \cdot e^H + C \cdot e^{-H} \\ = \{2 \sinh(2H)\}^{1/2} \cdot [\cosh(H^*) + C \sinh(H^*)] \\ = \{2 \sinh(2H)\}^{1/2} \exp(H^*C), \quad (2.20)$$

但

$$\sinh(2H) \cdot \sinh(2H^*) = 1, \quad e^{-2H} = \tanh(H^*), \\ e^{-2H^*} = \tanh(H). \quad (2.21)$$

因此, 在我們所考虑的特征值問題里出現的矩陣  $M$  可写为

$$M = (2 \sinh(2H))^{1/2} \exp(hs) \cdot \exp(H^*C) \\ = (2 \sinh(2H))^{1/2} \cdot M'.$$

这里的  $M'$  可以表示成一个指数函数的形式。事实上,

$$M' = (\cosh(h) + \sinh(h)s)(\cosh(H^*) + \sinh(H^*)C) \\ = \cosh(h)\cosh(H^*) + \sinh(h)\cosh(H^*)s \\ + \cosh(h)\sinh(H^*)C + \sinh(h)\sinh(H^*)sC \\ = \cosh(I') + \sinh(I') \cdot [\alpha s + \beta C + i\gamma sC],$$

但这里

$$\cosh I' = \cosh h \cdot \cosh H^*, \\ \sinh I' \cdot \alpha = \sinh h \cdot \cosh H^*,$$



$$\begin{aligned}\sinh F \cdot \beta &= \cosh h \cdot \sinh H^*, \\ i \sinh F \cdot \gamma &= \sinh h \cdot \sinh \tilde{H}^*.\end{aligned}$$

我們知道 Hamilton 的四元數是為了表現剛體的旋轉而引進的，如果把  $s, C, isC$  考慮成三維空間的直交軸，那麼，上面的式子就表示了如下的事實：圍繞  $s$  軸旋轉一個虛角  $2hi$ ，再圍繞  $C$  軸轉虛角  $2H^*i$ ，其結果和圍繞  $\alpha s + \beta C + \gamma(isC)$  所成的方向轉一個虛角  $2iF$  是一樣的。

由於  $(\alpha s + \beta C + i\gamma sC)^2 = 1$ ， $M'$  之特徵值是  $\exp(\pm F)$ ，所求的最大特徵值  $\lambda_1$  是

$$\lambda_1 = (2 \sinh(2H))^{1/2} \exp F.$$

容易驗證出，這個結果和以前求得的結果是一致的。

特別當外部磁場是 0， $h=0$  的情況下，

$$\begin{aligned}\lambda_1 &= (2 \sinh(2H))^{1/2} e^{H^*} = 2 \cosh(H), \\ \log\left(\frac{\lambda_1}{2}\right) &= \log \cosh(H) \\ &= \frac{1}{2\pi} \int_0^\pi \log[\cosh 2H - \sinh 2H \cos \omega] d\omega, \quad (2.22)\end{aligned}$$

這個結果和以後要提到的 2 維晶格的情況相比較是值得注意的。

無論怎樣講，當原子如鎖狀地排成一行時，其 Ising 模型中， $Z$  表現成解析函數  $\lambda_1$  的  $n$  乘方形式，和 §1 提到的理想體系是相同的，因而熱容量以及其他热力學的量不能只望其具有不連續性，協調現象也不見得會發生。可以預想到，設一維物質內某一原子的左方有某種使向上的自旋起作用的措施，只有通過該原子本身才可以把那效果影響及於右方，右方的情況為一個原子的搖擺不定性所支配着，因此，自旋序列無法向右方進行傳播。與此相反，在二維（或高維）晶格的情況下，一個原子的搖擺性為同列的其他原子的自旋影響所抑壓，左方的自旋影響向右方傳播不會受到原子不定性的阻礙，因而，可以想象到這時會發生協調現象。

## 第2章 表里变换, $P$ - $\Delta$ 变换

### §3 表里变换

正如前章提到的那样,如要讨论相变化,非处理二维以上的晶体不可。只有关于 Ising 模型,二维的问题才有严密的解答。

在进行这方面的说明前,试先说明 Kramers-Wannier 的里格子概念。这里并未给定状态和这样一种东西,但不妨假定只存在一个状态和,那么,转移温度 (Curie 点) 可以正式地计算出来。原格子的格子点以圈○表示,引实线表示格子点间的作用。这样做的话,平面为全等的四角形、三角形或六角形所嵌镶而成的品格结构分别称为四角格子、三角格子或蜂巢格子。

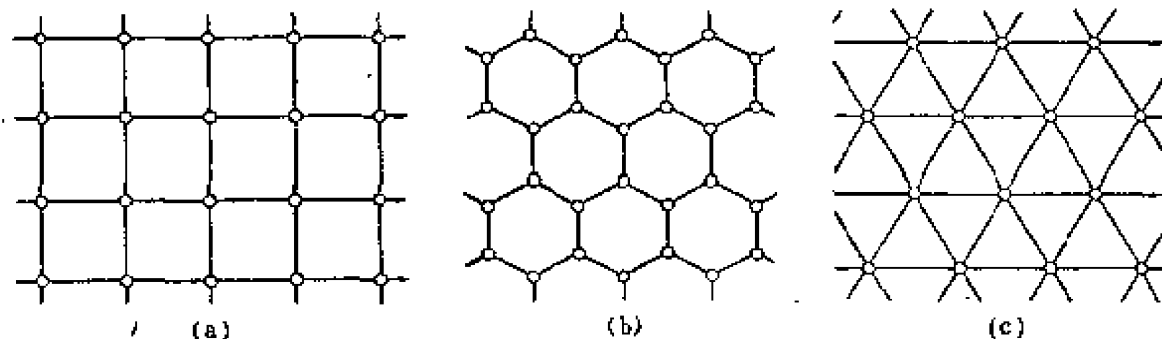


图 3.1 (a) 四角格子, (b) 蜂巢格子, (c) 三角格子

在这种作用线围成的最小多角形之中央置以格子点×, 用虚线所成的作用线把它们连结起来, 使虚线和原格子的作用线 (实线) 常保持相交, 象这样构成的格子称为里格子。

四角格子的里格子仍为四角格子, 三角格子的里格子为蜂巢格子, 反之, 蜂巢格子的里格子是三角格子, 这些事实从图上就可看出。也就是说, 表里关系是相互转换的。设格子点  $i$  的原子自旋变数为  $\mu_i$ , 与原格子有关的状态和是

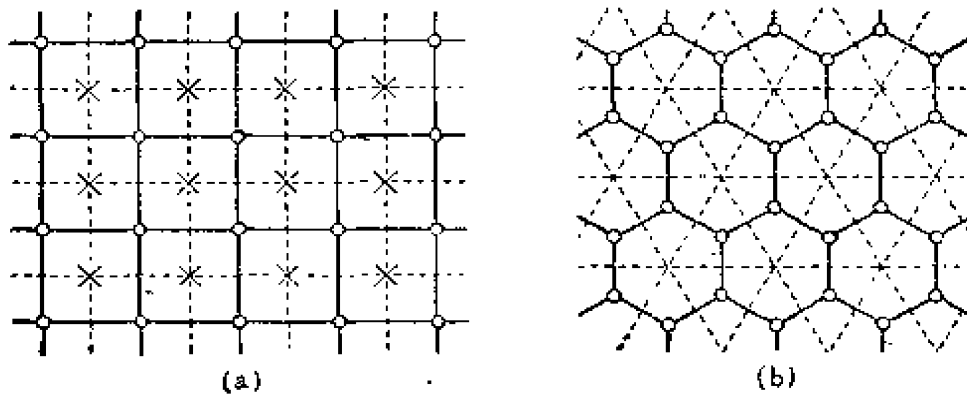


图 3.2

$$Z(T) = \sum_{\mu_1=\pm 1} \cdots \sum_{\mu_N=\pm 1} \exp(H \sum_{\langle i,k \rangle} \mu_i \mu_k). \quad (3.1)$$

这里  $N$  是原子总数,  $\sum_{\langle i,k \rangle}$  意味着关于相邻的 (即作用线連結的) 原子的总和。若干个形式为  $e^{H\mu\mu'}$  的因子连乘, 然后再取总和, 就得到状态和。 $\mu, \mu'$  是相邻原子的自旋变数, 且  $\mu = \pm 1, \mu' = \pm 1$ 。

由于  $(\mu\mu')^2 = 1$ , 我们把  $e^{H\mu\mu'}$  展开得

$$e^{H\mu\mu'} = \cosh H + \mu\mu' \sinh H,$$

又可改写成

$$e^{H\mu\mu'} = \left(\frac{1}{2} \sinh 2H\right)^{1/2} (e^{H^*} + \mu\mu' e^{-H^*}). \quad (3.2)$$

这里引进的  $H^*$  以关系

$$e^{2H^*} = \coth H$$

和  $H$  联系起来, 这和 (2.21) 里引进的  $H^*$  是完全一样的。亦即  $H^*$  与  $H$  之间有如下关系联系着:

$$\begin{aligned} \sinh 2H \cdot \sinh 2H^* &= \cosh 2H \cdot \tanh 2H^* \\ &= \cosh 2H^* \tanh 2H = 1. \end{aligned} \quad (3.3)$$

如把  $e^{H\mu\mu'}$  写成形式 (3.2), 则状态和的表达形式是

$$Z(T) = (\sinh 2H/2)^{S/2} \sum_{\mu_1=\pm 1} \cdots \sum_{\mu_N=\pm 1} \prod_{r=1}^S (e^{H^*} + \mu_r \mu'_r e^{-H^*}).$$

这里的  $r$  表示作用线的号码, 其总数为  $S$ 。这式中的乘积展开时,

每项出现若干个  $\mu_r \mu_r'$  之积, 这相当于图上的若干条作用线。这些作用线构成一个图形。从一个格子点如有奇数条作用线分出去, 那么, 和这些格子点有关的  $\mu$  就数值  $\pm 1$  加在一起而消尽。因此, 对我们有兴趣的图形是闭多边形或其集合, 如图 3.3 所示。

现在让我们对格子作有关拓扑学的规定。假定我们讨论的格子可张贴在球面上, 也就是

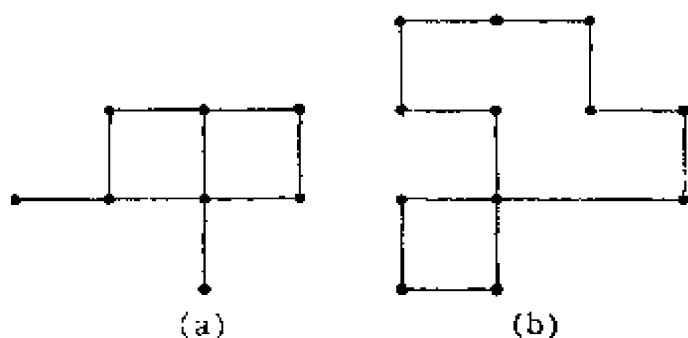


图 3.3 (a)不起作用的图形, (b)起作用的图形

说, 假定它是 1 重連結的。至于正多面体以外的有限格子, 譬如四角格子, 若是不在某处破坏了它的形状就不能实现这种假定, 但是这也无妨, 因为只要在无限伸延的全平面上来考虑, 自然它仍可看作是 1 重連結的。在 1 重連結的区域内, 封闭的多边形把平面分成内外二个部分区域。

相当于闭多边形的各项, 对于每一条边给出  $e^{-H^*}$ , 其他结合线则给出  $e^{H^*}$ 。假设闭多边形或其集合含有  $t$  条作用线, 和这些条作用线对应的项是  $e^{(S-t)H^*} \cdot e^{-tH^*}$ 。

但  $e^{(S-t)H^*} \cdot e^{-tH^*}$  在某些时候可看做是状态和中的一项, 可以写成

$$\exp H^* \sum \nu_r \nu_r'.$$

所说的某些时候, 指的是在里格子上, 多边形内部的格子点附以正自旋; 外部的格子点附以负自旋, 相互作用的参数当作  $H^*$ 。这是由于交于多边形各边的里格子之作用线附与以  $e^{-H^*}$ , 而对于其他作用线附与以  $e^{H^*}$  的原故。

要求出  $Z$  之展开式内所有各项, 只要关于里格子的自旋之所有配列进行总和就成。在总和时, 这种情况也在包括之列, 即对于

多边形内部的点附与以负的自旋,外部的点附与以正的自旋,所以,里格子之状态和  $Z^*$  除以 2 即可。相当于残余的多边形之各项跟  $\mu$  无关,所以就  $\mu$  进行总和时,应得到  $2^N$  倍。总之,表里格子之状态和间有如下的关系:

$$Z(H) = 2^{N-1-S/2} (\sinh 2H)^{S/2} Z^*(H^*).$$

$Z$  是绝对温度  $T$  的函数,通过关系  $H = J/kT$ ,  $Z$  就可以当作  $H$  之函数而写做  $Z(H)$ , 当  $J$  一定时,  $H$  以温度作为表达参数;当温度一定时,  $H$  以相互作用之强度作为表达参数。

由于我们的格子可以张贴在球面上这样一个假定,根据正多面体之顶点数  $N$ , 面数  $N^*$  与棱数  $S$  间的 Euler 定理,知有关系

$$N + N^* = S + 2,$$

利用这项关系就可把前一式写成对称的形式:

$$\frac{Z(H)}{2^{N/2} (\cosh 2H)^{S/2}} = \frac{Z^*(H^*)}{2^{N^*/2} (\cosh 2H^*)^{S/2}}. \quad (3.4)$$

对于无限延伸的晶体,有  $N + N^* = S$ , 所以

$$\frac{Z(H)}{2^{N/2} (\sinh 2H)^{S/2}} = \frac{Z^*(H^*)}{2^{N^*/2} (\sinh 2H^*)^{S/2}}. \quad (3.5)$$

这项关系式是联系互为表里的两种格子之状态和的。所谓互为表里的两种格子,例如四角格子与四角格子,三角格子与蜂巢格子,还有后面将提到的籠眼格子与骰子型格子等就是。特别对四角格子而论,由于其里格子仍为四角格子的原故,  $Z$  和  $Z^*$  应具有相同的函数形式,于是上述的表里关系可以看做是同一函数对应于  $T = J/kH$  和  $T^* = J/kH^*$  之值,其间之结合关系式①为

$$\frac{Z_s(H)}{(\sinh 2H)^{N/2}} = \frac{Z_s(H^*)}{(\sinh 2H^*)^{N/2}}. \quad (3.6)$$

如果对应于  $T$  的状态和显示某种奇异性的话,则对应于  $T^*$  的

① 这式对于  $Z_s$  讲来,可看做一个函数方程,但仅有此式,不能确定  $Z_s$  之函数形式。

状态和也非显示同样的奇异性不可。因此,如只假定有一个奇异点,那么,它一定是满足  $T=T^*$ , 亦即  $H=H^*$  的温度,把这条件代进(3.3),有

$$\sinh 2H_c = 1, \quad H_c = 0.4407. \quad (3.7)$$

这样就给出了四角格子的奇异点(在轉移温度或强磁性体的情况下,就是 Curie 温度)。在这一点上,实际四角格子的比热是按照对数形式趋于无限大,这从后面提到的严密解就可看出。

#### §4 Y-Δ 变 換

一个蜂巢格子和另一个蜂巢格子間要用以上同样的說法找出关系来,只靠表里变换是不可能的。这时,用得着一种新的变换叫做 Y-Δ 变换,这是联系蜂巢格子和三角格子的状态和的。

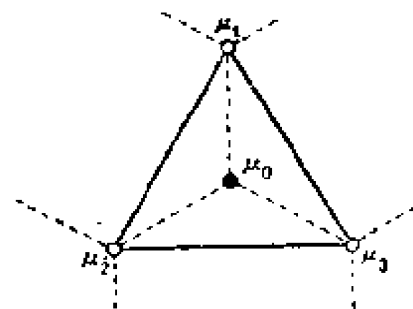


图 4.1 Y-Δ 变 換

蜂巢格子的一个格子点具有三个相邻的格子点,中央点的自旋变数記为  $\mu_0$ , 周圍三点的自旋变数記成  $\mu_1, \mu_2, \mu_3$ . 状态和內,含有  $\mu_0$  的因子  $\exp(H\mu_0(\mu_1 + \mu_2 + \mu_3))$  关于  $\mu_0 = \pm 1$  进行总和时,有

$$\begin{aligned} & 2\cosh(H(\mu_1 + \mu_2 + \mu_3)) \\ &= \Delta(T^+) \exp(T^+(\mu_1\mu_2 + \mu_2\mu_3 + \mu_3\mu_1)). \end{aligned} \quad (4.1)$$

这里使用了新参数  $T^+$ , 連結周圍三点的相互作用就可以表达出来。 $T^+$  和  $H$  的关系以及  $\Delta(T^+)$  可表示如下:

$$e^{4T^+} = 2\cosh 2H - 1, \quad (4.2)$$

$$\Delta(T^+) = e^{T^+} (e^{4T^+} + 3)^{1/2}. \quad (4.3)$$

图 4.2 內記以  $\cdot$  的点(蜂巢格子的一部分格子点)关于其自旋变数按上面那样进行总和时,其結果成为具有参数  $T^+$  的三角格子。这称为 Y-Δ 变换。

蜂巢格子的状态和  $Z_h(H)$  和三角格子的状态和  $Z_t(T^+)$  之間

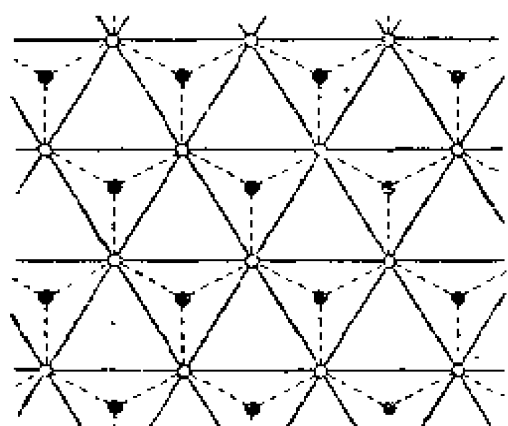


图4.2 蜂巢 → 三角(Y-Δ)

以次式互相联系着:

$$Z_h(H) = \Delta(T^+)^{N/2} Z_t(T^+), \quad (4.4)$$

$$2\cosh 2H - 1 = e^{4T^+}. \quad (4.5)$$

这里的  $N$  是蜂巢格子的格子点总数。

对于三角格子再施行表里变换, 則又重新得到蜂巢格子。

$$\frac{Z_t(T^+)}{(2\sinh 2T^+)^{N^*/2}} = \frac{Z_h(H^+)}{(2\sinh 2H^+)^{N/2}}. \quad (4.6)$$

这里  $T^+$  与  $H^+$  是表和里两种格子的参数, 且有关系  $\sinh 2T^+ \cdot \sinh 2H^+ = 1$ .  $N^*$  是三角格子的格子点总数, 有关系  $N^* = 2N$ . 原来的蜂巢格子經 Y-Δ 与表里两种变换再变到蜂巢格子, 其状态和間成立着下面的关系:

$$\frac{Z_h(H)}{(\sinh 2H)^{N/2}} = \frac{Z_h(H^+)}{(\sinh 2H^+)^{N/2}}. \quad (4.7)$$

参数  $H$  和  $H^+$  間有对称关系:

$$(\cosh 2H - 1)(\cosh 2H^+ - 1) = 1. \quad (4.8)$$

根据以前同样的說法, 如果只有一个奇异点的话, 这是满足  $H = H^+$  的点, 有

$$\cosh 2H_c = 1, \quad H_c = 0.6585. \quad (4.9)$$

这就是蜂巢格子的轉移温度。如对于三角格子进行同样討論, 則首先由表里变换把参数  $T$  (和绝对温度的記号相同, 但不应混同起来) 的三角格子轉移到参数  $H$  的蜂巢格子, 再由 Y-Δ 变换轉移到参数  $T^+$  的三角格子就成了。結果是, 在这两种三角格子間有关系

$$\frac{Z_t(T)}{(2\sinh 2T)^{N^*/2}} = \frac{Z_t(T^+)}{(2\sinh 2T^+)^{N^*/2}}, \quad (4.10)$$

$$(e^{4T} - 1)(e^{4T^*} - 1) = 4, \quad (4.11)$$

轉移溫度由  $T = T^*$ , 亦即

$$e^{1/c} = 3, \quad T_c = 0.2747 \quad (4.12)$$

所給定。这些变换以及格子間的轉变可用图 4.3 表示出来。

讓我們再回顾一下三种格子型。首先从一个原子的相邻原子数目来看, 蜂巢格子是 3, 四角格子是 4, 三角格子是 6. 对此, 轉移溫度与之相应地增

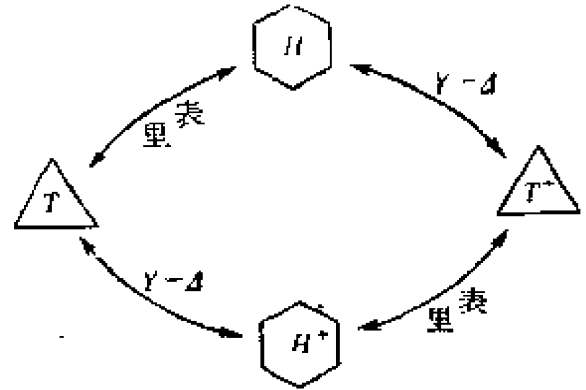


图 4.3

高(溫度的倒数如为  $H_c$  与  $T_c$ , 則相应减小)。相邻原子的个数越多, 彼此間的相互作用越紧密, 在这意义下, 当高溫度时, 晶体內的秩序被保持是可以理解到的。

表达轉移溫度的式子可归結为

$$\text{gd}(2H) = \pi/c. \quad (4.13)$$

$c$  是相邻原子的数目, Gudermann 角由

$$\text{gd } x = 2 \tan^{-1}(e^x) - \pi/2$$

規定出。这种表达式是偶然的产物, 抑或另有其他理由, 还不知道。

## §5 籠眼格子

平面以全等的正多边形填充的格子結構, 到目前为止提到的是蜂巢、四角与三角格子, 对这些格子来讲, 各格子点全都是同等的, 各边也全是同等的。

标题揭示的籠眼格子, 其形象有点象用篾片編出的籠子, 因此有籠眼格子之称。这是合二种正多角形, 即三角形与六角形而成的, 就这点看来, 就和以前所讲的格子結構不同。用二种正多角形



来填充一个平面所成的格子结构,除此以外还有几种,但籠眼格子有特别值得注意的地方,那就是所有格子点是同等的,各边也全是同等的,而且相邻的原子数目和四角格子的情况一样,也是4个。这种格子的轉移温度和四角格子比較起来是高、是低,或相同,这是很有趣的問題。

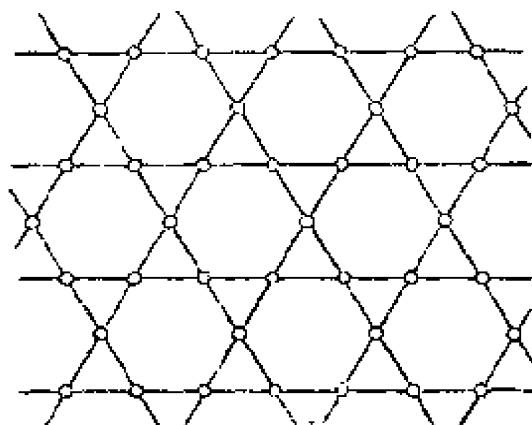


图 5.1 籠眼格子

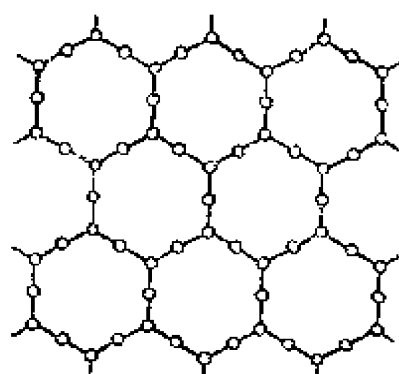


图 5.2 加工的蜂巢格子

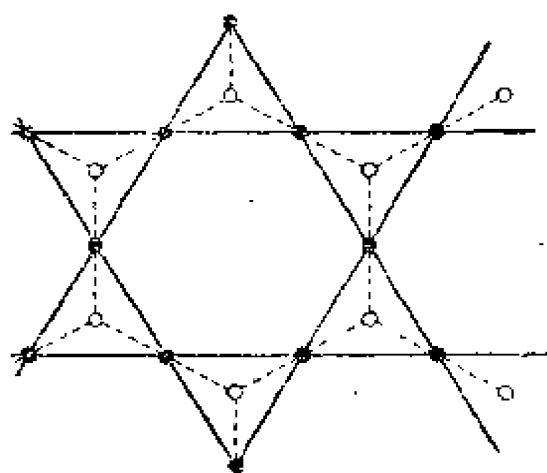


图 5.3

首先作为出发点的是“加工的蜂巢格子”。那就是在蜂巢格子的每一边之中点置以多余的原子所成的格子。

对于这种加工的蜂巢格子的状态和,就頂点之自旋变数进行总和时,即得到籠眼格子的状态和  $Z_k(K)$ ,也就是  $Y-4$  变换。

$$Z'(E) = \Delta(K)^4 Z_k(K), \quad (5.1)$$

$$\left. \begin{aligned} \Delta(K) &= e^K (e^{1/K} + 3)^{1/2}, \\ e^{4K} &= 2 \cosh 2E - 1, \end{aligned} \right\} \quad (5.2)$$

此外,对于加工的蜂巢格子的状态和  $Z'(E)$ ,就边上之原子自旋变数进行总和时,得出形式

$$\sum_{\mu_0=\pm 1} \exp(E\mu_0(\mu_1+\mu_2)) = I(H) \exp(H\mu_1\mu_2), \quad (5.3)$$

也就是說，在  $\mu_0$  連串着的二根作用綫变成了連結  $\mu_1, \mu_2$  的一根作用綫了。称这个为  $I$  变换。这里

$$I(H) = 2e^H, \quad e^{2H} = \cosh 2E. \quad (5.4)$$

利用这个  $I$  变换，从加工的蜂巢格子的状态和引来了蜂巢格子的状态和。

$$Z'(K) = I(H)^S Z_h(H), \quad (5.5)$$

$S$  是蜂巢格子的边数，和頂点数  $N$ ，面数  $N^*$  有如下的关系：

$$S = \frac{3}{2} N = 3N^*. \quad (5.6)$$

結果，以  $Z'(E)$  作为媒介，籠眼格子的状态和与蜂巢格子的状态和可以联系起来而有

$$\Delta(K)^N Z_k(K) = I(H)^S Z_h(H), \quad (5.7)$$

$$e^{4K} = 2e^{2H} - 1. \quad (5.8)$$

連接  $I$  变换与  $Y-\Delta$  变换而成的变换称做  $I-Y-\Delta$  变换。

如以前說的那樣，設  $Z_h(H)$  以滿足  $\cosh 2H = 2$  的点当做奇异点，則和它对应的  $Z_k(K)$  以滿足

$$e^{4K_0} = 3 + 2\sqrt{3}, \quad K_0 = 0.4643 \quad (5.9)$$

的点作为奇异点。这些个奇异点完全可經严密解而驗證出来。拿

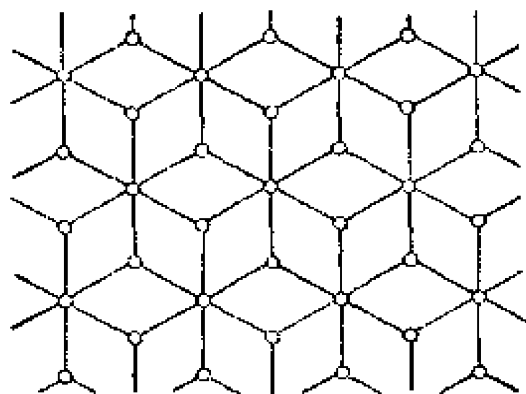


图 5.4 骰形格子

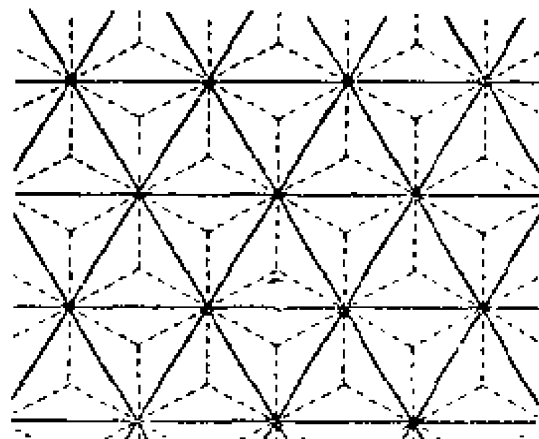


图 5.5 骰形格子  $\rightarrow$  三角格子 ( $Y-\Delta$ )

它来和同样具有4个相邻原子的四角格子的奇异点(参照(3.7))

$$e^{4H_0} = 3 + 2\sqrt{2}, \quad H_0 = 0.4407 \quad (5.10)$$

比较,可看出稍微降低一点。这就是说,转移温度单凭相邻原子数是决定不出来的。

籠眼格子的里格子是骰形格子(diced lattice),利用 $Y-\Delta$ 变换从它可以引来三角格子。这时,注意到三角格子的作用綫从两侧有其他影响(这种变换名为 $Y-\Delta'$ 变换),所以

$$Z_q(D) \approx \Delta(T/2)^{2s,3} Z_t(T), \quad (5.11)$$

$$e^{2T} = 2 \cosh 2D - 1. \quad (5.12)$$

如前节末所说,包含籠眼格子在内,格子間之变换有如图5.6所示的那种关系。在图中标出了对应于 $J/kT$ 的参数。

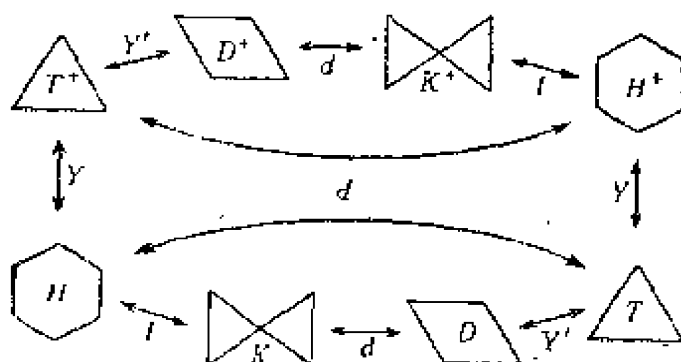


图5.6 格子間之变换

$d$ : 表里变换,  $Y$ :  $Y-\Delta$ 变换,  $Y'$ :  $Y-\Delta'$ 变换,  $I$ :  $I-Y-\Delta$ 变换

由各种变换所引起的参数关系可总括如下:

$$\left. \begin{aligned} e^{4K} &= 2e^{2H} - 1, \quad e^{4K^*} = 2e^{2H^*} - 1 && (I-Y-\Delta), \\ e^{2D} &= \coth K, \quad e^{2D^*} = \coth K^* && (\text{表里}), \\ e^{2T} &= 2 \cosh 2D - 1, \quad e^{2T^*} = 2 \cosh 2D^* - 1 && (Y-\Delta'), \\ \cosh 2H^* &= (e^{4T} + 1)/2, \quad \cosh 2H = (e^{4T^*} + 1)/2 && (Y-\Delta). \end{aligned} \right\} \quad (5.13)$$

从这些式子可以导出表里变换

$$e^{2H} = \coth T, \quad e^{2H^*} = \coth H^*.$$

結合同一格子型的参数之間的关系，在蜂巢格子与三角格子情形已經提到过了，籠眼、骰形格子方面，分別有

$$\left. \begin{aligned} \coth 2K (\coth 2K - 1) \coth 2K^+ (\coth 2K^+ - 1) &= 1/4, \\ \cosh 2D (\cosh 2D - 1) \cosh 2D^+ (\cosh 2D^+ - 1) &= 1/4, \end{aligned} \right\} \quad (5.14)$$

状态和之間的关系有

$$\left. \begin{aligned} Z_k(K) f(K) &= Z_k(K^+) f(K^+), \\ Z_d(D) g(D) &= Z_d(D^+) g(D^+). \end{aligned} \right\} \quad (5.15)$$

但

$$\begin{aligned} f(K) &= \left\{ \frac{(e^{4K} + 1)^{1/2}}{\cosh 2K (e^{4K} - 1)} \right\}^{S/3}, \\ g(D) &= \left\{ \frac{(\sinh 2D)^{4/3} (\sinh D)^{1/3}}{(\cosh 2D)^{1/6}} \right\}^S. \end{aligned}$$

求骰形格子的轉移点，在(5.14)內以  $D = D^+$ ，得

$$\cosh 2D_0 = (1 + \sqrt{3})/2, \quad D_0 = 0.4157. \quad (5.16)$$

在这个骰形格子里，有些格子点的相邻原子数是3，有些是6，其比例为2对1，因此，不妨說相邻原子的平均数是4。其轉移温度比四角格子稍高。一般說来，在相邻原子的平均数相等时，具有稠集点①的那一种轉移温度要高些。也就是說，直到高温还保持内部秩序。图5.7所表示的麻叶格子，請讀者对它进行同样討論，作为练习。

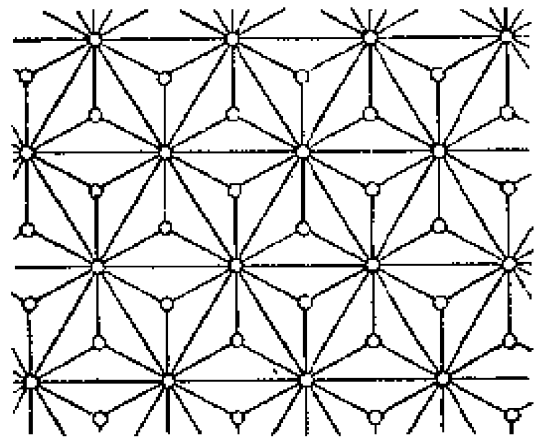


图5.7 麻叶格子( $H_0=0.199$ )

以上討論都是把  $H, K$  以及  $T$  这些参数当做正数来考虑的，虽說这是同种类的自旋并排时低

① 所謂具有稠集点指的是在某一格子型里，那些有較多的作用綫集聚在一起的点，例如說，骰形格子，相邻原子的平均数是4，但其中有些格子点，在那里有6条作用綫交会着，这就暫称之为稠集点。——譯者注

能量状态下强磁性的情况,但是当那些参数是负的时候,也不必另外去考虑。后一情况相当于不同种类的自旋并排时,低能量反强磁性。在 (3.3), (4.8), (4.11) 及 (5.14) 内以  $H = H^*$ ,  $H = H^\dagger$ ,  $T = T^+$ ,  $K = K^+$  及  $K = K^+$  代进,而在得到的式子内更以  $H \rightarrow -H$  等转换关系代入,有

$$\sinh^2(-2H) = 1, \quad (\cosh(-2H) - 1)^2 = 1,$$

$$(e^{-4T} - 1)^2 = 4, \quad \coth^2(-2K) [\coth(-2K) - 1]^2 = 1/4,$$

$$\cosh^2(-2D) [\cosh(-2D) - 1]^2 = 1/4,$$

这些式子是作为决定转移点而得到的式子,在四角、蜂巢、假性格子时,实数解是存在的,但在三角以及龔眼格子的场合,实数解不存在。这由于后者「+」「-」交错并列的秩序状态为构成图形中三角形而被破坏的原故。

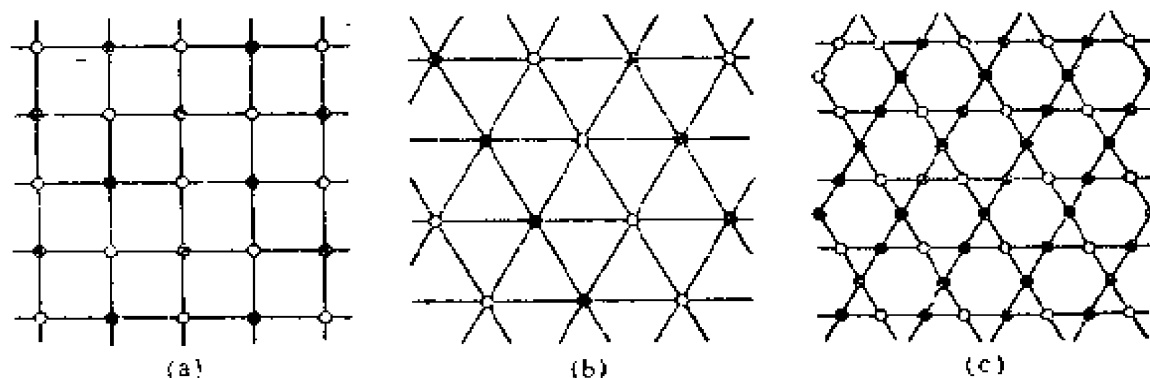


图 5.8 反强磁性与格子型

- (a) 在四角格子情况下,不同类的自旋原子得以交错地排列;  
 (b) 在三角格子时,有同类的自旋原子相邻地排列着; (c) 在  
 龔眼格子时,不能排成交错的阵形

## 第3章 代数的解法

### § 6 二維四角格子之矩陣

对于四角格子試用矩陣方法去探討。我們取豎排之  $n$  个原子作为矩陣方法里的单位系。根据实际情况，这一列的第  $n$  个原子和本列最初的原子連接起来考虑。这样做的话，可消除因两端影响而生的复杂性。与此同样的单位系向右共排成  $m$  行 ( $m$  个单位系)，最初的单位系和最后的单位系仍連接起来考虑。这样就使得整个四角格子可以考虑張貼在一个救生圈上。这种区域是 2 重連結的，和前章所論的張貼在单連結域上的四角格子虽多少有些不同，但在  $m \rightarrow \infty, n \rightarrow \infty$  的极限情形，可以不考虑两端的影响。

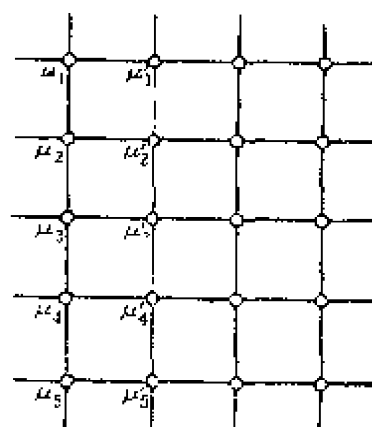


图 6.1

設单位系的原子自旋变数为  $\mu_1, \mu_2, \dots, \mu_n$ ，单位系的本身能量写成

$$E(\mu) = -J'(\mu_1\mu_2 + \mu_2\mu_3 + \dots + \mu_n\mu_1). \quad (6.1)$$

相应于  $\mu_1, \mu_2, \dots, \mu_n$  的  $\pm 1$  数值， $\mu$  共有  $2^n$  个状态。在这里沒有考虑外部磁場。其次，一单位系和相邻单位系間相互作用之能量写做

$$F(\mu, \mu') = -J(\mu_1\mu'_1 + \mu_2\mu'_2 + \dots + \mu_n\mu'_n). \quad (6.2)$$

即使我們考虑到纵作用綫之强度和横作用綫之强度有区别，但并不会因此而增加問題之复杂性。这二种强度分別記作  $J'$  与  $J$ ，从  $J' \neq J$  并不能导出特別有趣的結果。

我們是为了求特征值問題的运算符，首先，考虑与单位系的自

能有关的运算符,它是对角矩阵,矩阵元素是

$$V_1(\mu, \mu') = \exp H'(\mu_1\mu_2 + \mu_2\mu_3 + \cdots + \mu_n\mu_1) \delta(\mu_1, \mu'_1) \cdots \delta(\mu_n, \mu'_n), \quad (6.3)$$

这里的  $\delta(\mu_k, \mu'_k)$  有如下的关系:

$$\delta(\mu_k, \mu'_k) = \begin{cases} 1 & (\mu_k = \mu'_k), \\ 0 & (\mu_k \neq \mu'_k). \end{cases}$$

与相邻单位系之相互作用有关的矩阵,其矩阵元素是

$$V_2(\mu, \mu') = \exp H(\mu_1\mu'_1 + \mu_2\mu'_2 + \cdots + \mu_n\mu'_n). \quad (6.4)$$

矩阵积  $V_1V_2$  之矩阵元素当然是

$$\begin{aligned} V_1V_2(\mu, \mu') &= \sum_{\mu''} V_1(\mu, \mu'') V_2(\mu'', \mu') \\ &= \exp H'(\mu_1\mu_2 + \mu_2\mu_3 + \cdots + \mu_n\mu_1) \\ &\quad \times \exp H(\mu_1\mu'_1 + \mu_2\mu'_2 + \cdots + \mu_n\mu'_n). \end{aligned} \quad (6.5)$$

状态和  $Z$  由

$$Z = \text{Trace}(V_1V_2)^m \quad (6.6)$$

所给出。利用特征方程

$$\begin{aligned} \sum_{\mu_1=\pm 1} \cdots \sum_{\mu_n=\pm 1} \exp H'(\mu_1\mu_2 + \mu_2\mu_3 + \cdots + \mu_n\mu_1) \\ \times \exp H(\mu_1\mu'_1 + \mu_2\mu'_2 + \cdots + \mu_n\mu'_n) \\ \times \varphi(\mu'_1, \mu'_2, \cdots, \mu'_n) = \lambda \varphi(\mu_1, \mu_2, \cdots, \mu_n) \end{aligned} \quad (6.7)$$

或简写成

$$(V_1V_2, \varphi) = \lambda \cdot \varphi \quad (6.8)$$

的特征值  $\{\lambda_1, \lambda_2, \cdots\}$ , 则  $Z$  可表示为

$$Z = \lambda_1^m + \lambda_2^m + \cdots. \quad (6.9)$$

我们感兴趣的是大型结晶,一单位系的状态和可写为

$$\begin{aligned} \lim_{m \rightarrow \infty} m^{-1} \log Z \\ = \log \lambda_{\max} + \lim_{m \rightarrow \infty} m^{-1} \log [1 + \sum_{j \geq 2} (\lambda_j / \lambda_{\max})^m]. \end{aligned} \quad (6.10)$$

把绝对值最大的特征值  $\lambda_{\max}$  找出来,  $\lambda_j$  的顺序按照  $\lambda_1 = \lambda_{\max}$  这样

方式編定。在  $\lambda_{\max}$  非簡并时,  $[\lambda_j/\lambda_{\max}] < 1$ ,  $(\lambda_j/\lambda_{\max})^m \rightarrow 0$ , 因而上式的第二項可以略去。

即使  $\lambda_{\max}$  是簡并的, 或者接近于  $\lambda_{\max}$  的特征值有很多, 只要和  $m$  不形成指数函数的增加形态, 那么, 第二項仍可以省略去。根据 Frobenius 定理, 我們知道, “有限維的矩陣內, 其矩陣元素全是正的时候, 則最大特征值是正的、單純的, 特征向量的支量全是正的(至少是同号)”。但当单位系的原子数  $n$  是以无限大为极限时, 又将怎样的呢? 在某一轉移温度以下, 存在着接近于最大特征值的第二特征值, 这时可以看成它們具有长距离秩序, 即无限分离的原子間可看成互有关联。即使是二維格子, 如不能纵横无限地延伸, 我們不能期望它在本质上有和一維格子同样的相轉移。

## § 7 抽象代数的說法

为了使(6.5)的运算簡洁地表达起見, 規定綫性运算符  $s_i, C_i$  由函数  $f(\mu_1, \mu_2, \dots, \mu_n)$  作出新函数  $s_i f, C_i f$ , 这种运算符是一維情况(2.16)之扩充,

$$\begin{aligned}(s_i f)(\mu_1, \mu_2, \dots, \mu_i, \dots, \mu_n) &= \mu_i f(\mu_1, \dots, \mu_i, \dots, \mu_n), \\ (C_i f)(\mu_1, \dots, \mu_i, \dots, \mu_n) &= f(\mu_1, \dots, -\mu_i, \dots, \mu_n) \\ &\quad (i=1, \dots, n).\end{aligned}\tag{7.1}$$

立刻可以看出这  $2n$  个运算符滿足如下的代数关系:

$$\begin{aligned}s_i^2 &= C_i^2 = 1, & s_i C_i &= -C_i s_i, \\ s_i s_k &= s_k s_i, & C_i s_k &= C_k C_i, \\ s_i C_k &= C_k s_i & (i \neq k).\end{aligned}\tag{7.2}$$

利用了这些运算符, 則(6.3)的对角矩陣  $V_1$  成为單純的乘法, 简单地可写成

$$\exp II' (s_1 s_2 + s_2 s_3 + \dots + s_n s_1).\tag{7.3}$$

此外, (6.4)的矩陣  $V_2$ , 其各个添标  $i$  是分离的, 每一个可用



一維时所考虑的矩陣

$$\{\exp(H\mu_i\mu_i^t)\} = \begin{pmatrix} e^H & e^{-H} \\ e^{-H} & e^H \end{pmatrix} = (2 \sinh 2H)^{1/2} \exp H^* C \quad (7.4)$$

来表示,全体由这些矩陣的  $n$  个所成直积表示:

$$\begin{aligned} V_2 &= \begin{pmatrix} e^H & e^{-H} \\ e^{-H} & e^H \end{pmatrix} \times \begin{pmatrix} e^H & e^{-H} \\ e^{-H} & e^H \end{pmatrix} \times \cdots \times \begin{pmatrix} e^H & e^{-H} \\ e^{-H} & e^H \end{pmatrix} \\ &= (2 \sinh 2H)^{n/2} e^{H^* C} \times e^{H^* C} \times \cdots \times e^{H^* C} \\ &= (2 \sinh 2H)^{n/2} \exp H^* (C_1 + C_2 + \cdots + C_n). \end{aligned} \quad (7.5)$$

如果这里以

$$\begin{aligned} A &= s_1 s_2 + s_2 s_3 + \cdots + s_n s_1, \\ B &= C_1 + C_2 + \cdots + C_n, \\ V &= V_1 V_2, \end{aligned} \quad (7.6)$$

則特征值問題变成了求特征方程

$$\begin{aligned} (V, \varphi) &= (V_1 V_2, \varphi) \\ &= \{(2 \sinh 2H)^{n/2} \exp H^* A \exp H^* B, \varphi\} \\ &= \lambda \cdot \varphi \end{aligned} \quad (7.7)$$

的特征值。

### §8 表里变换

試考虑由(7.2)表示的  $n$  組的 4 元数基底

$$\{1, s_i, C_i, i s_i C_i\}.$$

每一組基底含有 4 个元素,不同組的对应的元素是可換的、无关的,而且各組共有单位元素 1,所以可作出这  $n$  組之 4 元数所成的直积代数。从各組取出一个元素作它們的积,全体共有  $4^n$  个基底元素。

4 元数构成阶数为 4 的单純代数,和 2 維的完全矩陣代数是同构的。因此,  $n$  个元素所成的直积代数  $Q^n$  是阶数为  $4^n$  的单純

代数, 和  $2^n$  維的完全矩陣代数同构。

运算符  $V$  的确是这个代数中的一个元素, 而且从对称性, 可以預料到它还是这个代数的子代数中的元素。

为了說明这项預料的事实, 首先从 (7.6) 看出,  $s_1, s_2, \dots, s_n$  一定是以两个两个的乘积而出現的。

引进使所有的自旋变数变号一回的运算符

$$\begin{aligned} U &= C_1 C_2 \cdots C_n, \quad U^2 = 1, \\ Uf(\mu_1, \dots, \mu_n) &= f(-\mu_1, \dots, -\mu_n), \end{aligned} \quad (8.1)$$

$U$  和  $s_k$  是反称的 (逆可換的):

$$Us_k = -s_k U, \quad (8.2)$$

从而, 和任意的二次式  $s_k s_l$  是可換的。于是它和 (7.3) 的  $V_1$  是可換的。

$U$  和  $V_2$  很明显是可換的。因此,  $U$  和  $V = V_1 V_2$  是可換的。这就是說  $V$  存在于全代数  $Q^n$  的子代数  $[Q^n]$  中, 这个  $[Q^n]$  是  $Q^n$  里面和  $U$  成为可換的那个部分。这个子代数  $[Q^n]$  含有基底元素中,  $s_k$  的偶数个之积, 阶数是  $4^{n/2}$ , 剛巧是全代数  $Q^n$  的一半。这个  $[Q^n]$  不是單純的。

由幂等元素  $(1+U)/2$  及  $(1-U)/2$ ,  $[Q^n]$  可分解为二个代数 (理想子环):

$$\begin{aligned} [Q^n] &= Q_+^n + Q_-^n, \\ Q_+^n &= [Q^n] \frac{1+U}{2}, \quad Q_-^n = [Q^n] \frac{1-U}{2}. \end{aligned} \quad (8.3)$$

这就是說,  $\{1, U\}$  組成半單純代数  $[Q^n]$  的核心。子代数  $Q_+^n$  和  $Q_-^n$  都是單純代数, 其阶数同为  $4^{n-1}$ , 因而和  $2^{n-1}$  維的完全矩陣代数是同构的。这二个代数各以  $U$  之特征值 1 或  $-1$  来作为标志。

上述事实如以图形表示, 則如

$$\left( \begin{array}{c|c} Q_+^n & \\ \hline (U=1) & \\ \hline & Q_-^n \\ & (U=-1) \end{array} \right).$$

其次,让我们回过头来考虑里格子。在里格子内,表格子的纵作用綫变为横的,横作用綫变成纵的就运算子的代数处理来看,这时相当于交换  $s_i s_{i+1}$  和  $C_i$  之作用。事实上,这些运算子间的交换关系如果把它们写成一列

$$s_n s_1, C_1, s_1 s_2, C_2, s_2 s_3, \dots, s_n s_{n-1}, C_n$$

来看是容易知道的。每一运算的平方等于1, 相邻的两个运算是逆可换的(反称的), 此外, 任何二个是可换的。这种现象, 其实是  $s_i s_{i+1}$  和  $C_i$  间的本质之区别, 而不是抽象代数上的差别, 这由变换

$$s_i s_{i+1} \rightarrow C_i, C_i \rightarrow s_{i-1} s_i \quad (i = 1, 2, \dots, n)$$

并不改变代数结构就可知道。不过对于

$$(s_n s_1) (s_1 s_2) (s_2 s_3) \cdots (s_{n-1} s_n) = 1,$$

$$C_1 C_2 C_3 \cdots C_n = U$$

不一定等于1, 因此, 这时非限于使  $U=1$  成立的子代数, 亦即  $Q_+^n$  不可。

对于  $Q_+^n$  而论, 上述的变换构成一个自同构对应。特别有  $A \rightarrow B, B \rightarrow A$ 。完全矩阵代数之自同构对应仅限于内部自同构对应

$$a \rightarrow a' = S a S^{-1},$$

由于有这样一个定理, 所以虽交换  $A$  与  $B$ , 其组合而成的某种运算子的特征值并不改变。这是由于利用某一元素  $S$  引起的相似变换具有形式

$$\begin{aligned} S(1+U) \exp(H' A) \exp(H' B) S^{-1} \\ = (1+U) \exp(H' B) \exp(H' A), \end{aligned}$$

而相似变换使特征值不变是大家都知道的事情。

$1+U$  是为了  $Q^n$  內的运算子射影到  $Q_+^n$  上而乘上去的射影运算子。轉置矩陣的特征值和原矩陣的特征值是相等的, 所以上式右边的轉置矩陣

$$(1+U)\exp(H^*A)\exp(H'B)$$

和原来的

$$(1+U)\exp(H'A)\exp(H^*B),$$

其特征值是相等的。

如就  $V$  进行比较, 則

$$(1+U)\frac{V(H', H)}{(2\sinh 2H)^{n/2}} \text{ 与 } (1+U)\frac{V(H^*, H'^*)}{(2\sinh 2H'^*)^{n/2}}$$

之特征值是相等的。从此, 可得譜(spectrum)关系式

$$\lambda_+(H^*, H'^*) = (\sinh 2H \cdot \sinh 2H')^{-n/2} \lambda_+(H', H). \quad (8.4)$$

特別, 应用于最大特征值时, 則因  $Z = \lambda_{\max}^m$  而有

$$\frac{Z(H^*, H'^*)}{(\sinh 2H'^*)^{N/2}} = \frac{Z(H', H)}{(\sinh 2H)^{N/2}}. \quad (8.5)$$

这式当  $H \neq H'$  时就是表里变换式。

轉移点滿足

$$H' = H^*,$$

因而是滿足

$$\sinh 2H' = \sinh 2H^* = 1 / \sinh 2H \quad (8.6)$$

的点。特別当  $H = H'$  时, 可得出前章(3.6)所說的由表里变换引起的状态和关系。

## § 9 $2^n$ 維的代数, 自旋表現

作为  $2^n$  維的代数  $Q^n$  之生成元素, 可以导入如次的  $2m$  个量。这  $2n$  个量在第二級量子化(quantisation)或旋子論也能出現。

$$\begin{aligned} \Gamma_1 &= s_1 \equiv p_1, & \Gamma_3 &= O_1 s_2 \equiv p_2, \dots, \\ \Gamma_2 &= iC_1 s_1 \equiv q_1, & \Gamma_4 &= O_1 (iC_2 s_2) \equiv q_2, \dots. \end{aligned}$$

一般有

$$\begin{aligned} \Gamma_{2r-1} &= s_r C_{r-1} C_{r-2} \cdots C_2 C_1 \equiv p_r, \\ \Gamma_{2r} &= C_1 C_2 \cdots C_{r-1} (iC_r s_r) \equiv q_r, \end{aligned} \quad (r=1, 2, \dots, n) \quad (9.1)$$

从  $C_i, s_i$  間的交換关系容易推出上述那些量之間的交換关系, 例如

$$\Gamma_r^2 = 1, \quad \Gamma_r \Gamma_s = -\Gamma_s \Gamma_r. \quad (9.2)$$

这就是說, 各量的平方是单位元素, 不同量相乘是逆可換的(反称的)。 $\Gamma_k$  所有可能的乘积中有  $4^n$  个綫性无关的量, 那就是

$$1; \Gamma_1, \Gamma_2, \dots, \Gamma_{2n}; \Gamma_1 \Gamma_2, \Gamma_2 \Gamma_3, \dots, \dots; \Gamma_1 \Gamma_2 \cdots \Gamma_{2n}; \quad (9.3)$$

用它們来架成  $Q^n$  是足够的了, 实际上, 只要能說明  $O_k, s_k$  可用这些量表示出来就行了。这从

$$O_k = ip_k q_k, \quad s_k = p_k (ip_{k-1} q_{k-1}) (ip_{k-2} q_{k-2}) \cdots (ip_1 q_1)$$

就可以立刻看出。

把  $\Gamma_1, \Gamma_2, \dots, \Gamma_{2n}$  看成向量的基底, 由一次正交变换, 換成新的基底  $\Gamma_1^*, \Gamma_2^*, \dots, \Gamma_{2n}^*$ , 那么, 有

$$\Gamma_k^* = \sum_{i=1}^{2n} \Gamma_i O_{ik} \quad (k=1, 2, \dots, 2n). \quad (9.4)$$

新基底的交換关系是怎样的呢? 首先計算如次的量:

$$\Gamma_k^{*2} = \sum_i O_{ik}^2 + \sum_{l,m} O_{lk} O_{mk} (\Gamma_l \Gamma_m + \Gamma_m \Gamma_l) = 1.$$

第一項由于  $\{O_{ik}\}$  是正交矩陣而是 1, 第二項由于  $\Gamma_k$  之逆可換性而消去。同样由計算得

$$\begin{aligned} \Gamma_k^* \Gamma_j^* + \Gamma_j^* \Gamma_k^* &= \sum_{lm} \sum_i (\Gamma_l \Gamma_m + \Gamma_m \Gamma_l) O_{lk} O_{mj} \\ &= \sum_{l,m} 2 \delta_{l,m} O_{lk} O_{mj} \\ &= \sum_i O_{lk} O_{lj} = 0. \end{aligned}$$

这就是說, 正交变换  $O$  使  $I_k \rightarrow I_k^*$ , 其間的代数关系不因之而改变。因此, 把  $I_1^*, I_2^*, \dots, I_{2^n}^*$  看成  $2^n$  維代数  $Q^n$  的生成元素 (generating elements) 也无不可。

从另一观点来討論, 对应

$$O: I_k \rightarrow I_k^*$$

給定了代数  $Q^n$  的自同构对应。由于完全矩陣代数的自同构仅限于内部自同构的原故, 对应于  $O$  可找出一个元素  $S(O)$ , 使

$$I_k^* = S(O) \cdot I_k \cdot S(O)^{-1}$$

成立。  $S(O)$  称为正交变换  $O$  的自旋表現。例如对于

$$O: \begin{aligned} I_k^* &= I_k \cos \theta - I_l \sin \theta, \\ I_l^* &= I_k \sin \theta + I_l \cos \theta, \end{aligned}$$

存在着

$$S(O) = \exp\left(\frac{\theta}{2} I_k I_l\right),$$

而有

$$\begin{aligned} S(O) I_k S(O)^{-1} &= \exp\left(\frac{\theta}{2} I_k I_l\right) \cdot I_k \cdot \exp\left(-\frac{\theta}{2} I_k I_l\right) \\ &= I_k \cos \theta - I_l \sin \theta = I_k^*. \end{aligned}$$

这里要用到展开式  $\exp(\alpha I_k I_l) = \cos \alpha + I_k I_l \sin \alpha$ , 而后者的成立是因为  $(I_k I_l)^2 = -1$ , 从此看出  $I_k I_l$  具有和虚数单位  $i$  同样性质的原故。在討論过程中, 不必把  $Q^n$  的单位元素特别提出来。和上面同样有

$$S(O) I_l S(O)^{-1} = I_k \sin \theta + I_l \cos \theta = I_l^*;$$

对于  $I_k, I_l$  以外的  $I_i$ , 当然也有

$$S(O) I_i S(O)^{-1} = I_i.$$

$S(O)$  內含有旋轉角  $\theta$  的半角  $\theta/2$ , 这是自旋表現之特征, 构成所謂的 2 价表現。  $\theta$  改变  $2\pi$ , 旋轉并不改变, 对于  $S(O)$  添上  $-1$ . 这就是說  $\pm S(O)$  构成  $O$  的自旋表現。反之, 对应于  $S(O)$  只有一

个旋转变换  $O$ 。

在 Dirac 的电子波动方程内, Hamilton 函数出现了四个逆交换的量  $F_1, F_2, F_3$  及  $F_4$ 。这四个量组成 16 元数。它和  $2^n=4$  维的完全矩阵代数是同构的。对应于  $2^n=4$  维空间的 Lorentz 变换  $O$  引出了  $2^n=4$  维的自旋空间内的变换

$$\psi \rightarrow S(O)\psi.$$

$S(O)$  是  $O$  之自旋表现,  $\psi$  是具有四个支量的 Dirac 波动函数。

最后对重要元素  $U$  进行讨论。

$$U = C_1 C_2 \cdots C_n = i^n (p_1 q_1) (p_2 q_2) \cdots (p_n q_n) = i^n F_1 F_2 \cdots F_{2n}$$

和  $F_1, F_2, \dots, F_{2n}$  是逆可换的, 即

$$F_k U = -U F_k,$$

从而偶数个  $F_k$  之积是可换的。因此, 和  $U$  有可换关系的子代数  $[Q^n]$  是以偶数个  $F_k$  之积作为基底元素的。 $U$  在正交变换  $O$  之下, 以下面的方式变换着:

$$\begin{aligned} U^* &= F_1^* F_2^* \cdots F_{2n}^* = \sum F_{l_1} F_{l_2} \cdots F_{l_n} O_{l_1, 1} O_{l_2, 2} \cdots O_{l_n, 2n} \\ &= \det O \cdot F_1 F_2 \cdots F_{2n} \\ &= U \cdot (\det O); \end{aligned}$$

$\det O$  等于 1 或  $-1$ 。

### § 10 由 $p, q$ 所成的 $V$ 之表现

我们对于特征值运算符  $V$  的对称性作更进一步的推究。

原子的号码一个一个地顺移时,  $V$  是不变的。就  $C_t, s_t$  而论 (规定  $C_{n+t} = C_t, s_{n+t} = s_t$ ),

$$\begin{aligned} T: \quad C_1 &\rightarrow C_2, C_2 \rightarrow C_3, \dots, C_n \rightarrow C_1, \\ s_1 &\rightarrow s_2, s_2 \rightarrow s_3, \dots, s_n \rightarrow s_1, \end{aligned}$$

这时  $V$  是不变的。对于 § 9 新导入的基底  $p_r, q_r$  起着怎样的影响呢? 把 (9.1) 的规定加以扩充使下标超过  $n$ , 就得如下的规定:

$$\begin{aligned} p_{n+1} &= p_1 U, \dots, p_{n+k} = p_k U, \dots, p_{2n} = p_1, \\ q_{n+1} &= U q_1, \dots, q_{n+k} = U q_k, \dots, q_{2n} = q_1; \end{aligned} \quad (10.1)$$

以  $2n$  作为周期才回到原来开始的元素。

再把  $V$  利用  $p_k, q_k$  写出来。容易知道

$$\left. \begin{aligned} C_k &= i p_k q_k, \\ s_k s_{k+1} &= -i p_{k+1} q_k. \end{aligned} \right\} \quad (k=1, 2, \dots, n) \quad (10.2)$$

在这里  $s_n s_{n+1} \equiv s_n s_1 = -i p_{n+1} q_1$ , 我们还注意到不是生成元素的量  $p_{n+1} = p_1 U$  也在这里出现了, 这就是使得我们的讨论麻烦的一个原因。由于

$$\begin{aligned} B &= C_1 + C_2 + \dots + C_n = i(p_1 q_1 + p_2 q_2 + \dots + p_n q_n), \\ A &= s_1 s_2 + s_2 s_3 + \dots + s_n s_1 \\ &= -i(p_2 q_1 + p_3 q_2 + \dots + p_{n-1} q_n), \end{aligned} \quad (10.3)$$

$V$  可用  $p_r, q_r$  表示出来。这对于以  $2n$  为周期、号码一个一个地顺移的变换

$$R: p_k \rightarrow p_{k+1}, \quad q_k \rightarrow q_{k+1} \quad (k=1, \dots, 2n) \quad (10.4)$$

是不变的。更一般地, 对于变换  $R$  试作如下的不变式:

$$A_m = \frac{1}{2} \sum_{k=1}^{2n} p_{k+m} q_k = \sum_{k=1}^n p_{k+m} q_k \quad (m=1, 2, \dots, 2n), \quad (10.5)$$

那么,  $B$  与  $A$  是  $A_m$  之特例:

$$B = i A_0, \quad A = -i A_1.$$

这时,  $V$  可以写成如次的形式:

$$V = (2 \sinh 2H)^{n/2} \exp(-iH^* A_1) \exp(iH^* A_0) \quad (10.6)$$

## § 11 各种代数量

由(10.5)规定的  $A_m$  具有周期  $2n$ :

$$A_{m+2n} = A_m,$$

因此, 以  $2n$  作为周期, 进行 Fourier 展开, 有



$$A_m = \sum_{r=1}^{2n} \left( X_r \cos \frac{rm}{n} \pi + Y_r \sin \frac{rm}{n} \pi \right), \quad (11.1)$$

$X_r$  与  $Y_r$  是 Fourier 展开的运算子,

$$\begin{aligned} X_r &= \frac{1}{2n} \sum_{m=1}^{2n} A_m \cos \frac{rm}{n} \pi, \\ Y_r &= \frac{1}{2n} \sum_{m=1}^{2n} A_m \sin \frac{rm}{n} \pi; \end{aligned} \quad (11.2)$$

使用  $p_r, q_r$  改写上式,得

$$\begin{aligned} X_r &= \frac{1}{4n} \sum_{k,l=1}^{2n} p_k q_l \cos \frac{r\pi}{n} (k-l), \\ Y_r &= \frac{1}{4n} \sum_{k,l=1}^{2n} p_k q_l \sin \frac{r\pi}{n} (k-l). \end{aligned} \quad (11.3)$$

对于  $p_k, q_l$  的下标超过  $n$  的部分, 利用关系  $p_{n+k} = p_k U, q_{n+k} = U q_k$  (注意  $p_k U = -U p_k, q_k U = -U q_k$ ), 就有

$$\begin{aligned} X_r &= \frac{1}{2n} (1 - (-1)^r U) \sum_{k,l=1}^n p_k q_l \cos \frac{r\pi}{n} (k-l), \\ Y_r &= \frac{1}{2n} (1 - (-1)^r U) \sum_{k,l=1}^n p_k q_l \sin \frac{r\pi}{n} (k-l). \end{aligned} \quad (11.4)$$

当  $r$  为奇数时,  $X_r$  和  $Y_r$  属于具有幂等元素 (子代数之单位元素)  $(1+U)/2$  的代数  $Q_+^n$ ;  $r$  为偶数时, 属于  $Q_-^n$ , 两者当然是正交的。上面的式子也可写成

$$\begin{aligned} X_{-r} &= X_r = X_{2n-r}, \\ Y_{-r} &= -Y_r = Y_{2n-r}, \end{aligned} \quad (11.5)$$

所有的下标是以  $2n$  作为模的。

为了简明地说明  $X_r$  与  $Y_r$ , 明确代数结构以及和整个代数相关的地位, 转移到以下新的母元 (生成元素)。

这些元素是  $p_k, q_k$  的 Fourier 展开中所考虑的量, 由正交变换可以求得。

$$\begin{aligned}
 \xi_r &= \sqrt{\frac{2}{n}} \sum_{k=1}^n p_k \cos \frac{r\pi}{n} k, \\
 \xi'_r &= \sqrt{\frac{2}{n}} \sum_{k=1}^n p_k \sin \frac{r\pi}{n} k, \\
 \eta_r &= \sqrt{\frac{2}{n}} \sum_{k=1}^n q_k \cos \frac{r\pi}{n} k, \\
 \eta'_r &= \sqrt{\frac{2}{n}} \sum_{k=1}^n q_k \sin \frac{r\pi}{n} k.
 \end{aligned} \tag{11.6}$$

当  $r=0, r=n$  时, 则有

$$\begin{aligned}
 \xi_0 &= \frac{1}{\sqrt{n}} \sum p_k, \quad \eta_0 = \frac{1}{\sqrt{n}} \sum q_k, \\
 \xi_n &= \frac{1}{\sqrt{n}} \sum (-1)^k p_k, \quad \eta_n = \frac{1}{\sqrt{n}} \sum (-1)^k q_k.
 \end{aligned} \tag{11.6'}$$

根据选定的是  $r$  之奇数列

$$1, 3, 5, \dots, 2n-1$$

或偶数列

$$0, 2, 4, \dots, 2n-2$$

而有二种正交变换  $D^+$  或  $D^-$ .

由  $D^+$  转移到新母元

$$\xi_1, \xi'_1, \eta_1, \eta'_1; \xi_3, \xi'_3, \eta_3, \eta'_3; \dots;$$

由  $D^-$  转移到新母元

$$\xi_0, \xi'_0; \xi_2, \xi'_2, \eta_2, \eta'_2; \dots;$$

这些量关于下标以  $2n$  作为模是相等的, 那就是说,

$$\xi_{2n+r} = \xi_r, \quad \xi'_{2n+r} = \xi'_r, \quad \eta_{2n+r} = \eta_r \text{ 等等.}$$

其中,  $\xi$  和  $\eta$  是偶函数,  $\xi'$  和  $\eta'$  是奇函数, 亦即

$$\xi_{2n-r} = \xi_{-r} = \xi_r, \quad \xi'_{-r} = -\xi'_r, \quad \eta_{-r} = \eta_r, \quad \eta'_{-r} = -\eta'_r;$$

因此, 无论是奇数列或偶数列, 其中线性无关的元素的个数都是  $2n$ . 这  $2n$  个元素中每一元素之自乘等于 1, 不同元素相乘是逆可换的, 这类性质在正交变换下保持不变。因此, 无论是奇数列或偶

数列的元素都可看做是构成代数  $Q^n$  的母元(生成元素)。 $\xi_n$  与  $\eta_n$  由于  $n$  的奇偶性而属于奇数列或偶数列之中。所有的下标全限于从 0 起到  $n$  止。

其次,让我们考察重要的元素

$$U = i^n (p_1 q_1) (p_2 q_2) \cdots (p_n q_n)$$

在新基底之下到底取怎样的形式。容易证明

$$\sum_{r \in \mathfrak{A}} (\xi_r \eta_r + \xi'_r \eta'_r) = \sum_{k=1}^n p_k q_k.$$

式子左边的总和是由 1, 3, 5,  $\cdots$  直到奇数的  $n$ , 如果  $n$  是偶数, 则总和从 1, 3, 5,  $\cdots$  直到  $(n-1)$ . 完全同样地, 对于 0, 2, 4,  $\cdots$  直到  $n-1$  (或  $n$ ) 的偶数列, 成立着

$$\sum_{r \in \mathfrak{B}} (\xi_r \eta_r + \xi'_r \eta'_r) = \sum_{k=1}^n p_k q_k.$$

从上面的关系得

$$\begin{aligned} i^{-n} U &= \prod_{k=1}^n p_k q_k = \prod_{k=1}^n \exp \left( \frac{\pi}{2} p_k q_k \right) = \exp \frac{\pi}{2} \sum p_k q_k \\ &= \exp \frac{\pi}{2} \sum (\xi_r \eta_r + \xi'_r \eta'_r) \\ &= \begin{cases} \prod_{r \in \mathfrak{A}} (\xi_r \eta_r) (\xi'_r \eta'_r), \\ \prod_{r \in \mathfrak{B}} (\xi_r \eta_r) (\xi'_r \eta'_r). \end{cases} \end{aligned} \quad (11.7)$$

$U$  是和所有的母元有牵涉的, 一般, 它对于正交变换是与变换的行列式有关的。正交变换的行列式是  $\pm 1$ , 从上述证明看出变换  $D^+$  和  $D^-$  的行列式等于  $+1$ .  $U$  和  $\xi_r, \eta_r, \xi'_r, \eta'_r$  中的每一个是逆可换的, 和偶数个这样的母元是可换的。

## § 12 各种代数关系

前节(11.3)里得出的  $X_r, Y_r$  试利用新的母元  $(\xi_r, \eta_r, \xi'_r, \eta'_r)$  来表示。正弦、余弦用加法公式展开后, 容易得出下式:

$$\left. \begin{aligned} X_r &= \frac{1 - (-1)^r U}{4} (\xi_r \eta_r + \xi'_r \eta'_r), \\ Y_r &= \frac{1 - (-1)^r U}{4} (\xi'_r \eta_r - \xi_r \eta'_r); \\ Z_r &= X_r Y_r = \frac{1 - (-1)^r U}{4} (\xi'_r \xi_r - \eta'_r \eta_r), \end{aligned} \right\} \quad (12.1)$$

从这里更规定

$$E_r = -X_r^2 = -Y_r^2 = -Z_r^2 = \frac{1 - (-1)^r U}{4} (1 - \xi_r \eta_r \xi'_r \eta'_r),$$

那么, 这样四个元素

$$K_r: \{E_r, X_r, Y_r, Z_r\}$$

构成 4 元数的基底, 这就是说, 满足下面的代数关系:

$$\begin{aligned} X_r^2 &= Y_r^2 = Z_r^2 = -E_r, & E_r^2 &= E_r, \\ X_r E_r &= E_r X_r = X_r, & Y_r E_r &= E_r Y_r = Y_r, \\ Z_r E_r &= E_r Z_r = Z_r, \\ X_r Y_r &= -Y_r X_r = Z_r, & Z_r X_r &= -X_r Z_r = Y_r, \\ Y_r Z_r &= -Z_r Y_r = X_r. \end{aligned} \quad (12.2)$$

这些关系之满足, 从  $(\xi_r, \eta_r, \xi'_r, \eta'_r)$  的代数关系就立刻可以推知。

值得注意的是前章出现过的 4 元数  $1, s_i, C_i, is_i C_i$  是所谓 Hermite 型的, 自乘以后等于 1, 特征值是实数 ( $\pm 1$ ); 这里出现的可说是 4 元数之原型。当然这两个型是同构的。

特别当  $r=0$  时, 有  $Y_0 \equiv 0$ ,

$$X_0 = \frac{1-U}{2} (\xi_0 \eta_0), \quad E_0 = \frac{1-U}{2}, \quad E_0^2 = E_0, \quad (12.3)$$

$$X_0^2 = -\frac{1-U}{2} = -E_0, \quad X_0 E_0 = E_0 X_0 = X_0.$$

当  $r=n$  时, 有  $Y_n \equiv 0$ ,

$$X_n = \frac{1 - (-1)^n U}{2} (\xi_n \eta_n), \quad E_n = \frac{1 - (-1)^n U}{2}, \quad E_n^2 = E_n, \quad (12.4)$$

$$X_n^2 = -E_n, \quad X_n E_n = E_n X_n = X_n.$$

無論是前者或后者，它們都組成阶数 2 的可換代数，和复数是同构的。

以上說的是同标号的基底构成封閉的 (closed) 代数。今后对于不同标号的基底，試察其間的关系。首先，标号为奇数的基底和标号为偶数的基底是正交的，这就是說奇数的基底属于  $Q_+$ ，偶数的基底属于  $Q_-$ 。一般說来，标号不同的基底是可換的。如把  $[AB - BA]$  写做  $[A, B]$ ，則

$$\begin{aligned} [X_r, X_s] = [Y_r, Y_s] = [Z_r, Z_s] &= 0, \\ [X_r, Y_s] = [Y_r, Z_s] = [Z_r, X_s] &= 0, \end{aligned} \quad (r+s \neq 0) \quad (12.5)$$

这些交換关系从  $\xi_r, \xi'_r, \eta_r, \eta'_r$  之二次式与  $\xi_s, \xi'_s, \eta_s, \eta'_s$  之二次式是可換的这桩事实立刻可以推知。这种在不同标号情况下的可換性可以解决我們的特征值問題。亦即如从 (11.1) 看出的那样， $A_0$  与  $A_1$  可分解为可互換的运算子之和。对此以后还要提到。

現在試察各标号的 4 元数所成的全代数間的关系。标号  $r$  的代数 (4 元数或复数) 記以  $K_r$ 。在  $K_r$  里除  $U$  外只含有四个逆交換的元素：

$$\xi_r, \xi'_r, \eta_r, \eta'_r.$$

这四个元素产生阶数 16 的代数 (Dirac 代数, 16 元数 (sedenion)), 和  $U$  成可換的子代数，也就是說由上述四个元素的偶数个积所成的代数，其阶数为 8，是半單純的，把它記作  $F_r$ 。

把  $F_r$  分解为二个 4 元数  $K'_r$  与  $K''_r$  之直和。对应于  $F_r$  之单位元素 1 的分解：

$$1 = E'_r + E''_r,$$

$$E'_r = \frac{1}{2} (1 - \xi_r \eta_r \xi'_r \eta'_r), \quad E''_r = \frac{1}{2} (1 + \xi_r \eta_r \xi'_r \eta'_r),$$

$F_r$  之其他基底元素可分解成

$$X'_r = \frac{1}{2} (\xi_r \eta_r + \xi'_r \eta'_r), \quad X''_r = \frac{1}{2} (\xi_r \eta_r - \xi'_r \eta'_r),$$

$$Y'_r = \frac{1}{2} (\xi'_r \eta_r - \xi_r \eta'_r), \quad Y''_r = \frac{1}{2} (\xi'_r \eta_r + \xi_r \eta'_r),$$

$$Z'_r = \frac{1}{2} (\xi'_r \xi_r - \eta'_r \eta_r), \quad Z''_r = \frac{1}{2} (\xi'_r \xi_r + \eta'_r \eta_r).$$

这样就把  $F_r$  分解为二个理想子环, 每一个子环和 4 元数  $K$  是同构的; 而且  $F_0, F_n$  是阶数 2 的可换代数。

$$F_1, F_3, F_5, \dots, \begin{cases} F_n (n \text{ 是奇数时}), \\ F_{n-1} (n \text{ 是偶数时}), \end{cases}$$

两系列同有单位元素 1, 彼此间是可换的。如考虑这些个元素的直积代数

$$K_{\text{奇数}} \equiv F_1 \times F_3 \times F_5 \times \dots \times \begin{cases} F_n, \\ F_{n-1}, \end{cases}$$

则  $K_r \in K_{\text{奇数}}(1+U)/2 \quad (r: \text{奇数})$ 。

同样对于偶数列, 作

$$K_{\text{偶数}} \equiv F_0 \times F_2 \times F_4 \times \dots \times \begin{cases} F_{n-1}, \\ F_n \end{cases}$$

时, 则有

$$K_r \in K_{\text{偶数}}(1-U)/2 \quad (r: \text{偶数}).$$

当然,

$$K_{\text{奇数}}(1+U)/2 \in Q_+^n,$$

$$K_{\text{偶数}}(1-U)/2 \in Q_-^n.$$

从 (11.1), 可写

$$\begin{aligned} A_0 &= X_0 + X_1 + X_2 + \dots + X_n + \dots + X_{2n-1} \\ &= X_0 + 2(X_1 + X_2 + \dots + X_{n-1}) + X_n, \end{aligned} \quad (12.6)$$

但这里应用到关系  $X_{2n-r} = X_{-r} = X_r$ . 此外, 还可把  $A_1$  写成

$$\begin{aligned} A_1 &= X_0 + X_1^* + X_2^* + \dots + X_n^* + \dots + X_{2n-1}^* \\ &= X_0 + 2(X_1^* + X_2^* + \dots + X_{n-1}^*) - X_n, \end{aligned} \quad (12.7)$$

不过这里的  $*$  是由如下的关系式规定的:

$$\begin{cases} X_r^* = X_r \cos \omega_r + Y_r \sin \omega_r, \\ Y_r^* = X_r \sin \omega_r - Y_r \cos \omega_r \quad \left( \omega_r = \frac{r\pi}{n} \right), \\ Z_r^* = -Z_r, \end{cases} \quad (12.8)$$

从此就得到

$$X_{-r}^* = X_r^*, Y_{-r}^* = -Y_r^*, Z_{-r}^* = -Z_r^*,$$

$\{E_r, X_r^*, Y_r^*, Z_r^*\}$  构成 4 元数的基底。如

$$\begin{aligned} X_r^{**} = Y_r^{**} = Z_r^{**} = -E_r, \quad X_r^* Y_r^* = -Y_r^* X_r^* = Z_r^*, \\ Y_r^* Z_r^* = -Z_r^* Y_r^* = X_r^*, \quad Z_r^* X_r^* = -X_r^* Z_r^* = Y_r^* \end{aligned} \quad (12.9)$$

这些关系是和没有  $*$  的量完全相同的。

取关系式 (12.8) 之逆, 可得到完全同样的式子

$$\begin{aligned} X_r &= X_r^* \cos \frac{r\pi}{n} + Y_r^* \sin \frac{r\pi}{n}, \\ Y_r &= X_r^* \sin \frac{r\pi}{n} - Y_r^* \cos \frac{r\pi}{n}, \\ Z_r &= -Z_r^*. \end{aligned} \quad (12.8')$$

由于  $X_r^*, Y_r^*$  对于  $A_1$  的关系和  $X_r, Y_r$  对于  $A_0$  的关系完全一样, 所以  $X, Y \rightarrow X^*, Y^*$  意味着向里格子转移的变换。对于表里变换, 问题的对称性就在子代数  $K_r$  里也表现出来了。

### § 13 特征值问题之解法

把 (12.6), (12.7) 代入 (10.6), 得到

$$\begin{aligned} V = (2 \sinh 2H)^{n/2} \exp \{ -iH' (X_0 + 2X_1^* + 2X_2^* + \dots \\ + 2X_{n-1}^* - X_n) \} \times \exp \{ iH'' (X_0 + 2X_1 + 2X_2 + \dots \\ + 2X_{n-1} + X_n) \}. \end{aligned} \quad (13.1)$$

一般, 如  $a, b$  是可换的元素, 利用关系

$$e^{a+b} = e^a \cdot e^b = e^b \cdot e^a,$$

则  $V$  可使有关代数  $K_0, K_1, \dots, K_{n-1}, K_n$  的量联系在一起。那

就是說,如以

$$\begin{aligned} V_0 &= \exp\{i(H^* - H')X_0\}, \\ V_r &= \exp\{-2iH'X_r^*\}\exp\{2iH^*X_r\}, \\ V_n &= \exp\{i(H^* + H')X_n\}, \end{aligned} \quad (13.2)$$

則有

$$V = (2 \sinh 2H)^{n/2} V_0 V_1 V_2 \cdots V_{n-1} V_n. \quad (13.3)$$

这时,  $V$  是属于  $Q_+^*$  的  $V_+$  与属于  $Q^n$  的  $V_-$  之直和。这里

$$\begin{aligned} V_+ &= \frac{1+U}{2} V \\ &= (2 \sinh 2H)^{n/2} \cdot \frac{(1+U)}{2} V_1 V_3 V_5 \cdots \begin{cases} V_n & (n: \text{奇}), \\ V_{n-1} & (n: \text{偶}), \end{cases} \\ V_- &= \frac{1-U}{2} V \\ &= (2 \sinh 2H)^{n/2} \cdot \frac{(1-U)}{2} V_0 V_2 V_4 \cdots \begin{cases} V_{n-1} & (n: \text{奇}), \\ V_n & (n: \text{偶}). \end{cases} \end{aligned} \quad (13.4)$$

$V_+$  或  $V_-$  分开来解就可以了。無論解那一方面, 由于  $V_r$  互为可換, 所以对各因子求出特征值, 然后乘起来就成了。但由于  $K_1, K_3, \cdots$  等并不是完全无关的, 因此, 不是任何組合方式都行。不能不只选择那种满足条件  $U=1$  或  $-1$  的組合。对于它以后还要提到。

这里对各个  $V_r$  討論特征值問題的解法。首先从  $r=0$  开始。

$$\begin{aligned} V_0 &= \exp\{-i(H' - H^*)X_0\}, \\ X_0 &= \frac{1-U}{2} (\xi_0 \eta_0), \quad (iX_0)^2 = \frac{1-U}{2}. \end{aligned}$$

在  $U=-1$  的子空間內取  $iX_0 = \pm 1$  的特征值,

在  $U=1$  的子空間內取  $iX_0=0$  的特征值。

因而,  $V_0$  之特征值是

$$\exp(H' - H^*), \quad \exp\{-(H' - H^*)\}, \quad 1.$$



对于

$$V_n = \exp\{i(H' + H^*)X_n\},$$

同样地进行,得特征值

$$\exp(H' + H^*), \quad \exp\{-(H' + H^*)\}, \quad 1.$$

现在试考虑一般  $r$  的情况。

$$V_r = \exp(-2iH'X_r^*)\exp(2iH^*X_r),$$

或者利用相似变换,写成对称形式:

$$\begin{aligned} V_r' &= \exp(iH'X_r^*)V_r\exp(-iH'X_r^*) \\ &= \exp(-iH'X_r^*)\exp(2iH^*X_r)\exp(-iH'X_r^*) \end{aligned} \quad (13.5)$$

使结果整齐化。一般,  $(iX)^2 = E$  时,利用展开式

$$\begin{aligned} \exp(i\beta X) &= 1 + \beta(iX) + \frac{\beta^2}{2!}E + \frac{\beta^3}{3!}(iX) + \frac{\beta^4}{4!}E + \dots \\ &= 1 - E + E \cosh \beta + iX \sinh \beta, \end{aligned}$$

则

$$\begin{aligned} V_r' &= (1 - E_r + E_r \cosh H' - iX_r^* \sinh H') \\ &\quad \times (1 - E_r + E_r \cosh 2H^* + iX_r \sinh 2H^*) \\ &\quad \times (1 - E_r + E_r \cosh H' - iX_r^* \sinh H'). \end{aligned}$$

作出这个乘积,经整理后得

$$\begin{aligned} V_r' &= (1 - E_r) + E_r(\cosh 2H' \cosh 2H^* - \sinh 2H' \sinh 2H^* \cos \omega_r) \\ &\quad - iX_r^*(\cosh 2H^* \sinh 2H' - \sinh 2H^* \cosh 2H' \cos \omega_r) \\ &\quad + iY_r^*(\sinh 2H^* \sin \omega_r). \end{aligned} \quad (13.6)$$

在这里我们再利用双曲三角形角与边的关系:

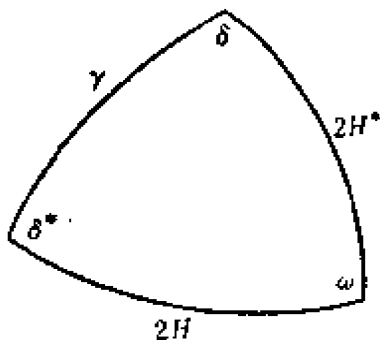


图 13.1 双曲三角形

$$\begin{aligned} \cosh \gamma &= \cosh 2H' \cosh 2H^* \\ &\quad - \sinh 2H' \sinh 2H^* \cos \omega, \\ \sinh \gamma \cos \delta^* &= \sinh 2H' \cosh 2H^* \\ &\quad - \cosh 2H' \sinh 2H^* \cos \omega, \\ \frac{\sin \omega}{\sinh \gamma} &= \frac{\sin \delta^*}{\sinh 2H^*} = \frac{\sin \delta'}{\sinh 2H'}. \end{aligned}$$

(13.7)

这些式子是把球面三角形各边以純虛数表示，从球面三角的公式而得到的。最后可把  $V_r'$  写成

$$\begin{aligned} V_r' &= (1 - E_r) + E_r \cosh \gamma_r + \sinh \gamma_r [-iX_r^* \cos \delta_r^* + iY_r^* \sin \delta_r^*] \\ &= \exp\{i\gamma_r(-X_r^* \cos \delta_r^* + Y_r^* \sin \delta_r^*)\}. \end{aligned} \quad (13.8)$$

就几何意义来讲，这意味着：繞  $X^*$  軸旋轉一个虛角  $-2iH'$ ，其次繞  $Y$  軸旋轉虛角  $4iH^*$ ，最后再繞  $X^*$  軸旋轉一个虛角  $-2iH'$ ，經三回旋轉合成的結果，等于圍繞方向  $(-X_r^* \cos \delta_r^* + Y_r^* \sin \delta_r^*)$  旋轉虛角  $2i\gamma_r$  的結果。

最初由 Hamilton 引进的 4 元数，就是为了要象上述那样把剛体的旋轉解析地表达出来。

式 (13.8) 內的旋轉軸虽說在  $X$ - $Y$  平面上，但为了使这个軸向在这个平面自由地轉換，利用繞  $Z$  軸（或  $Z^*$  軸）之旋轉加以变换就成。实际上，利用

$$\begin{aligned} &\exp(\alpha Z) \cdot (X \cos \beta + Y \sin \beta) \exp(-\alpha Z) \\ &= X \cos \beta \cdot \exp(-2\alpha Z) + Y \sin \beta \exp(-2\alpha Z) \\ &= X \cos(\beta + 2\alpha) + Y \sin(\beta + 2\alpha), \end{aligned} \quad (13.9)$$

$$\begin{aligned} \text{得 } &\exp(\alpha Z) \exp\{-i\gamma(X^* \cos \delta^* - Y^* \sin \delta^*)\} \exp(-\alpha Z) \\ &= \exp\{-i\gamma(X^* \cos(-\delta^* + 2\alpha) + Y^* \sin(2\alpha - \delta^*))\}. \end{aligned}$$

这里如令  $2\alpha - \delta^* = \pi$ ,  $\alpha = (\pi + \delta^*)/2$ , 則有

$$\exp\left\{\frac{\pi + \delta_r^*}{2} Z_r^*\right\} \cdot V_r' \cdot \exp\left\{-\frac{\pi + \delta_r^*}{2} Z_r^*\right\} = \exp\{i\gamma_r X_r^*\}. \quad (13.10)$$

这式是用  $X_r^*$  表出的，如用  $X_r$  来表示，則考虑到

$$\exp\left(-\frac{\omega_r}{2} Z_r\right) \cdot (X \cos \omega_r + Y \sin \omega_r) \cdot \exp\left(\frac{\omega_r}{2} Z_r\right) = X_r$$

$$\text{并以} \quad T_r = \exp\left(-\frac{\omega_r + \delta_r^* + \pi}{2}\right);$$

就到达最后的結果

$$T_r V_r T_r^{-1} = \exp(i\gamma_r X_r). \quad (13.11)$$

由于

$$(iX_r)^2 = H_r, \quad (iX_r)^3 = (iX_r);$$

因而  $iX_r(iX_r+1)(iX_r-1)=0$  是  $iX_r$  的特征方程, 特征值是 0, -1 与 1. 于是  $V_r$  之特征值是 1,  $\exp \gamma_r$ ,  $\exp(-\gamma_r)$ .

以上解决了个别的特征值问题, 以下再就全体加以考虑。

经适当变换后, 由  $V_+$  可得到  $\tilde{V}_+$ :

$$\tilde{V}_+ = \begin{cases} (2 \sinh 2H)^{n/2} \frac{1+U}{2} \exp\{i\gamma_1 X_1 + i\gamma_3 X_3 + \cdots \\ \quad + i(H' + H^*) X_n\}, & (n: \text{奇}) \\ (2 \sinh 2H)^{n/2} \frac{1+U}{2} \exp\{i\gamma_1 X_1 + i\gamma_3 X_3 + \cdots \\ \quad + i\gamma_{n-1} X_{n-1}\}. & (n: \text{偶}) \end{cases} \quad (13.12)$$

这里把  $X_1, X_n$  考虑为

$$X_1 = \frac{1+U}{2} \cdot \frac{\xi \eta_1 + \xi' \eta'_1}{2}, \quad X_n = \frac{1+U}{2} (\xi_n \eta_n).$$

由于  $(i\xi_1 \eta_1)^2 = 1$ ,  $(i\xi'_1 \eta'_1)^2 = 1$ , 所以它们取  $\pm 1$  的特征值; 但把它们取作完全无关是办不到的, 我们不能不这样地选取

$$U = \begin{cases} (i\xi_1 \eta_1) (i\xi'_1 \eta'_1) \cdots (i\xi_n \eta_n) & (n: \text{奇}) \\ (i\xi_1 \eta_1) (i\xi'_1 \eta'_1) \cdots (i\xi'_{n-1} \eta'_{n-1}) & (n: \text{偶}) \end{cases} = 1. \quad (13.13)$$

因而, 最大特征值按照

$$(i\xi_1 \eta_1) = (i\xi'_1 \eta'_1) = \cdots = (i\xi_n \eta_n) = 1 \quad (n: \text{奇})$$

$$(i\xi_1 \eta_1) = (i\xi'_1 \eta'_1) = \cdots = (i\xi'_{n-1} \eta'_{n-1}) = 1 \quad (n: \text{偶})$$

选定时, 如最大特征值记作  $\lambda_+$ , 则得

$$\log \lambda_+ - \frac{n}{2} \log (2 \sinh 2H) = \begin{cases} \gamma_1 + \gamma_3 + \cdots + (H' + H^*) & (n: \text{奇}), \\ \gamma_1 + \gamma_3 + \cdots + \gamma_{n-1} & (n: \text{偶}). \end{cases} \quad (13.14)$$

为了写得简洁起见,以

$$\gamma_{-r} = \gamma_r, \quad \gamma_n = 2(H' + H^*),$$

总和从 1 加到  $2n-1$ , 则得到

$$\begin{aligned} \log \lambda_+ - \frac{1}{2} n \log (2 \sinh 2H) &= \frac{1}{2} \sum_{r=1}^n \gamma_{2r-1} \\ &= \frac{1}{2} \sum_{r=1}^n \cosh^{-1} (\cosh 2H' \cosh 2H^* \\ &\quad - \sinh 2H' \sinh 2H^* \cos (2r-1) \pi / 2n). \end{aligned} \quad (13.15)$$

比这个較小的特征值可取偶数个的  $(i\xi_r \eta_r)$  之值等于  $-1$  而得出。这就是說,求次大的特征值,考虑

$$0 < \gamma_1 < \gamma_3 < \gamma_5 < \cdots < 2(H' + H^*)$$

就可以,因而把最小的  $\gamma_1$  之符号改变一下就可得出。换言之,以

$$(i\xi_1 \eta_1) = -1, \quad (i\xi'_1 \eta'_1) = -1,$$

得到

$$-\gamma_1 + \gamma_3 + \cdots + \left\{ \frac{H + H^*}{\gamma_{n-1}} \right\} = \log \lambda_+ - 2\gamma_1. \quad (13.16)$$

这意味着次大的特征值和最大特征值間存在着有限差距。其次,在  $U=1$  的限制下,  $n$  个因子的特征值可取作  $\pm 1$ , 全部共得  $2^{n-1}$  个特征值,从这些个特征值可作出  $V_+$  的特征值。

其次,让我们轉到  $V_-$  的特征值問題。对它施用同样适当的变换,則和以前一样,可得出

$$\tilde{V}_- = \begin{cases} (2 \sinh 2H)^{n/2} \frac{1-U}{2} \exp \{ -i(H' - H^*) X_0 \\ \quad + i\gamma_2 X_2 + \cdots + i(H' + H^*) X_n \} & (n: \text{偶}), \\ (2 \sinh 2H)^{n/2} \frac{1-U}{2} \exp \{ -i(H' - H^*) X_0 \\ \quad + i\gamma_2 X_2 + \cdots + i\gamma_{n-1} X_{n-1} \} & (n: \text{奇}). \end{cases} \quad (13.17)$$

不过这一次不能不在条件

$$\begin{aligned}
 U &= \begin{cases} (i\xi_0\eta_0)(i\xi_2\eta_2)(i\xi'_2\eta'_2)\cdots(i\xi_n\eta_n) & (n: \text{偶}) \\ (i\xi_0\eta_0)(i\xi_2\eta_2)(i\xi'_2\eta'_2)\cdots(i\xi'_{n-1}\eta'_{n-1}) & (n: \text{奇}) \end{cases} \\
 &= -1
 \end{aligned} \tag{13.18}$$

之下确定

$$\begin{aligned}
 X_0 &= \frac{1-U}{2} (\xi_0\eta_0), \quad X_i = \frac{1-U}{2} \cdot \frac{\xi_i\eta_i + \xi'_i\eta'_i}{2}, \\
 X_n &= \frac{1-U}{2} \xi_n\eta_n
 \end{aligned}$$

的特征值。 $U$  的各因子中, 奇数个取特征值  $-1$ , 亦即取

$$(i\xi_0\eta_0) = -1, \text{ 其他全部取作 } 1.$$

如以  $X_i$  来表示, 则有

$$(iX_0) = -1, \quad iX_2 = iX_4 = \cdots = \begin{Bmatrix} iX_n \\ iX_{n-1} \end{Bmatrix} = 1,$$

它们的组合就构成  $V_-$  之最大特征值。如记为  $\lambda_-$ , 则有

$$\begin{aligned}
 \log \lambda_- &= \frac{n}{2} \log (2 \sinh 2H) \\
 &= \begin{cases} (H' - H^*) + \gamma_2 + \gamma_4 + \cdots + (H' + H^*) & (n: \text{偶}), \\ (H' - H^*) + \gamma_2 + \gamma_4 + \cdots + \gamma_{n-1} & (n: \text{奇}). \end{cases} \tag{13.19}
 \end{aligned}$$

这和(13.14)的  $\lambda_+$  比较, 明显地看出有

$$\lambda_+ > \lambda_-.$$

以

$$\begin{aligned}
 \gamma_0 &= \cosh^{-1} (\cosh 2H' \cosh 2H^* - \sinh 2H' \sinh 2H^*) \\
 &= 2 |H' - H^*|
 \end{aligned}$$

来规定  $\gamma_0 > 0$  时, 则得

$$\begin{aligned}
 \log \lambda_- &= \frac{n}{2} \log (2 \sinh 2H) = (H' - H^*) + \frac{1}{2} \sum_{r=1}^{n-1} \gamma_{2r} \\
 &= \frac{1}{2} \left( \gamma_0 \operatorname{sgn} (H' - H^*) + \sum_{r=1}^{n-1} \gamma_{2r} \right). \tag{13.20}
 \end{aligned}$$

式右侧的第一项在  $H' = H^*$  这一点的两边要变符号, 这现象是这

个情况的特征。  $H' = H^*$  是确定轉移溫度的式子。

其次, 当  $n \rightarrow \infty$  时, 比較  $\lambda_+$  与  $\lambda_-$ ,

$H' \geq H^*$  时, 二个和式

$$\gamma_1 + \gamma_3 + \cdots + \gamma_{2n-1} = \gamma(\pi/n) + \gamma(3\pi/n) + \cdots,$$

$$\gamma_0 + \gamma_2 + \cdots + \gamma_{2n-2} = \gamma(0) + \gamma(2\pi/n) + \cdots$$

可看成是作为根据梯形法則近似于积分

$$\frac{n}{2\pi} \int_0^{2\pi} \gamma(\omega) d\omega$$

的两种方法。这两种方法当区間的数目增加时可以很快地逼近周期的解析函数。对于

$$\lim_{n \rightarrow \infty} \lambda_- / \lambda_+ = 1 \quad (H' \geq H^*), \quad (13.21)$$

亦即在轉移点以下的时候, 特征值二重簡并, 所謂长距离秩序是存在的。

对于上述二种和, 当  $H' < H^*$ , 亦即在轉移点以上时, 后一和可改写成

$$-\gamma_0 + \gamma_2 + \cdots + \gamma_{2n-2} = -2\gamma_0 + (\gamma_0 + \gamma_2 + \cdots + \gamma_{2n-2}),$$

和原来的比較, 只有  $-2\gamma_0 = 2(H' - H^*) < 0$  的差別。因此两者之比是

$$\lim_{n \rightarrow \infty} \frac{\lambda_-}{\lambda_+} = \exp 2(H' - H^*) < 1. \quad (13.22)$$

在轉移点以上,  $\lambda_-$  是孤立的最大特征值, 和次大的特征值間有有限的間隔, 因此, 在晶体內不存在长距离秩序。

其他的特征值在  $n \rightarrow \infty$  时构成連續帶, 其情况表示如下:

$$\lambda_+ = \lambda_- > (\text{連續帶}) \quad (\text{轉移点以下}),$$

$$\lambda_+ = \lambda_- = \lim (\text{連續帶}) \quad (\text{轉移点}),$$

$$\lambda_+ > \lambda_- = \lim (\text{連續帶}) \quad (\text{轉移点以上}).$$

## § 14 状态和及热力学的各种量

从最大特征值  $\lambda_+$  取  $n \rightarrow \infty$  时的极限, 一个左右的状态和可利用

$$\lambda = \lim_{n \rightarrow \infty} (\lambda_+)^{1/n} \quad (14.1)$$

来规定。如把 (13.15) 的和用积分写出, 则有

$$\log \lambda = \frac{1}{2} \log (2 \sin 2H) + \frac{1}{2\pi} \int_0^\pi \gamma(\omega) d\omega, \quad (14.2)$$

但这里

$$\cosh \gamma(\omega) = \cosh 2H' \cosh 2H^* - \sinh 2H' \sinh 2H^* \cos \omega, \quad (14.3)$$

为了把 (14.2) 写成关于  $H, H'$  的对称形式, 利用恒等式

$$\int_0^{2\pi} \log (2 \cosh x - 2 \cos \omega) d\omega = 2\pi x, \quad (14.4)$$

则 (14.2) 可用二重积分

$$\begin{aligned} \log (\lambda/2) &= \frac{1}{2\pi^2} \int_0^\pi \int_0^\pi \log (\cosh 2H \cosh 2H' \\ &\quad - \sinh 2H \cos \omega - \sinh 2H' \cos \omega') d\omega d\omega' \end{aligned} \quad (14.5)$$

来表示。这是式 (2.22) 的自然扩充形式。对于 (14.5), 如以

$$2\kappa = \tanh 2H / \cosh 2H' = \sin g \cos g',$$

$$2\kappa' = \tanh 2H' / \cosh 2H = \cos g \sin g',$$

把对数展开为关于  $\kappa, \kappa'$  之幂级数, 然后逐项积分, 则有

$$\begin{aligned} \log \lambda &= \frac{1}{2} \log (4 \cosh 2H \cosh 2H') \\ &= \frac{1}{2\pi^2} \int_0^\pi \int_0^\pi \log (1 - 2\kappa \cos \omega - 2\kappa' \cos \omega') d\omega d\omega' \\ &= \frac{1}{2} \sum_{r+s \geq 0} (2r+2s-1)! (r!)^{-2} (s!)^{-2} \kappa^{2r} \kappa'^{2s}, \end{aligned} \quad (14.6)$$

特别当  $H = H'; \kappa = \kappa'$  时得

$$\begin{aligned}\log \lambda - \log (2 \cosh 2H) &= \frac{1}{2} \pi^{-2} \iint \log (1 - 4\kappa \cos \omega_1 \cos \omega_2) d\omega_1 d\omega_2 \\ &= - \sum_{n=1}^{\infty} \left( \frac{\binom{2n}{n}}{4n} \right) \kappa^{2n}.\end{aligned}\quad (14.7)$$

这些展开式对于  $H, H'$  之所有数值是收敛的, 因为

$$|2\kappa \cos \omega + 2\kappa' \cos \omega'| \leq 2\kappa + 2\kappa' = \sin(g + g') \leq 1.$$

级数收敛的极限给出转移点, 就在这点上级数也是收敛的。

上述二重积分再利用 (14.4) 换成一重积分, 如使用记号

$$\begin{aligned}k_1 &= 4\kappa_1 = 2 \sinh 2H / \cosh^2 2H, \\ k_1'' &= \pm (1 - k_1^2)^{1/2} = 2 \tanh^2 2H - 1, \\ |k_1''| &= k_1',\end{aligned}$$

则可得

$$\log (\lambda/2 \cosh 2H) = \frac{1}{2\pi} \int_0^\pi \log \left\{ \frac{1}{2} (1 + (1 - k_1^2 \sin^2 \varphi)^{1/2}) \right\} d\varphi.$$

在积分号内进行微分, 一原子左右的内部能量  $U$  是

$$U = -J \frac{d \log \lambda}{dH} = -J \coth 2H \left( 1 + \frac{2}{\pi} k_1'' K_1 \right), \quad (14.8)$$

因而, 热容量  $C$  由次式决定:

$$\begin{aligned}C &= kH^2 \frac{d^2 \log \lambda}{dH^2} = k (H \coth 2H)^2 (2/\pi) \\ &\quad \times \left\{ 2K_1 - 2E_1 - (1 - k_1'') \left( \frac{1}{2} \pi + k_1'' K_1 \right) \right\}.\end{aligned}\quad (14.9)$$

在这些式子内,  $K_1$  和  $E_1$  是完全椭圆积分:

$$\begin{aligned}K_1 &= K(k_1) = \int_0^{\pi/2} (1 - k_1^2 \sin^2 \varphi)^{-1/2} d\varphi, \\ E_1 &= E(k_1) = \int_0^{\pi/2} (1 - k_1^2 \sin^2 \varphi)^{1/2} d\varphi.\end{aligned}$$

奇异性发生在  $H = H^* = \frac{1}{2} \log \cot \pi/8$  的时候, 在这一点,  $k_1 = 1$ ;

$K_1 = \infty$ ;  $E_1 = 1$ .



这时比热虽是无穷大，但能量由于  $k_1''=0$  而是連續的。要看出这个奇异性，在这奇异点  $H_0$  的附近展开即可。

$$\begin{aligned} K_1 &\sim \log(4/k_1') \sim \log(2^{1/2}/|H-H_0|), \\ C/k &\sim (2/\pi) (\log \cot \pi/8)^2 \left(K_1 - 1 - \frac{1}{4}\pi\right). \end{aligned} \quad (14.10)$$

比热按照对数的形态增加到无穷大，这是这个理論中最有意义的結論。

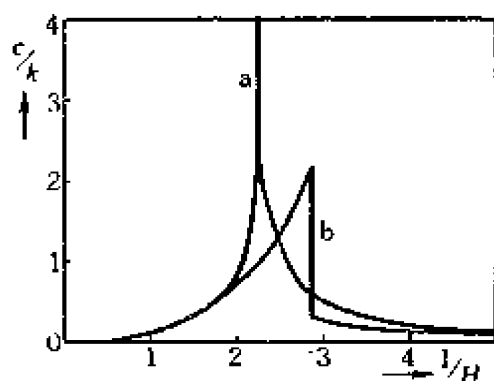


图 14.1 比热曲线

(a) 严密理論(Onsager),

(b) 近似理論(Bethe)

到此为止我們使用 Ising 模型作出了各种近似理論，比热在轉移点处形成有限的飞跃，但这样就发生了使給定的轉移点失去应有高度的不利情况。近似理論与严密理論的比較如图 14.1 所示。在  $H \neq H'$  时，轉移温度在图上不过稍平坦一点，在本质上并无何种差別。对于

其他型式的二維格子，轉移点的性质并不改变。

## 参考文献

关于矩阵方法方面,有

- [1] R. Kubo (久保亮五): 物性論研究, **1** (1943).
- [2] H. A. Kramers, G. H. Wannier: Phys. Rev., **60** (1941), 252.
- [3] E. Montroll: J. Chem. Phys., **9** (1941), 706.
- [4] E. N. Lascette, J. P. Howe: J. Chem. Phys., **9** (1941), 747.

关于平面格子的各种变换方面,有

- [5] G. H. Wannier: Rev. Mod. Phys., **17** (1945), 50.
- [6] I. Syozi (片司一郎): Prog. Theo. Phys., **6** (1951), 306.
- [7] I. Syozi (庄司一郎): Scie. Pap. of Osaka Univ., **1** (1953), 1.
- [8] I. Syozi (庄司一郎): 神戸商船大学紀要, 理工学篇, 第2号 (1955).
- [9] G. F. Newell, E. W. Montroll: Rev. Mod. Phys., **25** (1953), 353.

关于四角格子的精密解, 首先有

- [10] L. Onsager: Phys. Rev., **65** (1944), 117.

对此理論进行簡明化的, 有

- [11] Y. Nambu: Prog. Theo. Phys., **5** (1950), 1.
- [12] L. Onsager, B. Kaufman: Phys. Soc. Cambridge, Conference Report (1947), 137.
- [13] B. Kaufman: Phys. Rev., **76** (1949), 1232.
- [14] 伏見康治編, 量子統計力学 (共立, 1948), 336.

关于扩充到蜂巢格子与三角格子方面的, 有

- [15] K. Husimi, I. Syozi (伏見康治, 庄司一郎): Prog. Theo. Phys., **5** (1950), 117.
- [16] I. Syozi (庄司一郎): Prog. Theo. Phys., **5** (1950), 341.
- [17] R. M. F. Houtappel: Physica, **16** (1950), 425.
- [18] H. N. V. Temperley: Proc. Roy. Soc. (London), **203A** (1950), 202.

[19] G. H. Wannier: Phys. Rev., **79** (1950), 357.

[20] G. F. Newell: Phys. Rev., **79** (1950), 876.

关于籠眼格子及其他方向扩充的, 有

[21] T. Utiyama: Prog. Theo. Phys., **6** (1951), 306.

[22] K. Kano, S. Naya: Prog. Theo. Phys., **10** (1953), 158.

[23] 加納, 納: 物性論研究, **40** (1951).

利用組合論解决四角格子問題的, 有

[24] M. Kac, J. C. Ward: Phys. Rev., **88** (1952), 1332.

关于自发磁性方面, 有

[25] C. N. Yang (楊振宁): Phys. Rev., **85** (1952), 809.

[26] R. B. Potts: Phys. Rev., **88** (1952), 392.

[27] S. Naya: Prog. Theo. Phys., **11** (1954), 53.

有关綜合报告的有[7]与[9], 应用于格子气体的, 有

[28] C. N. Yang, T. D. Lee (楊振宁, 李政道): Phys. Rev., **87** (1952), 404.

[29] T. D. Lee, C. N. Yang (李政道, 楊振宁): Phys. Rev., **87** (1952), 410.

## 校 后 記

張 宗 燧

这本书的主要内容是将代数学应用到晶体的秩序化 (ordering) 现象上去的一些理論。如众所周知, 自 1934 年起即有了关于秩序化的理論 (Bragg-Williams, 1934; Bethe, 1935), 与实验結果定性上是符合的。但这些理論均是近似的, 因此定量上的不符合不能被确定为物理假定的不适当所引起, 或为計算上的不正确性所引起。1941 年 Kramers, Wannier 应用了矩陣的方法, 将求晶体的热力学函数的工作归結为求某矩陣的最大本征值問題, 并且对于平面中方形晶点陣, 严格地求出了临界温度。在 1944 年, Onsager 将此方法发展, 具体地求出了平面中晶体陣晶体的热力学函数 (即配分和), 获得了临界现象。这是此方面工作发展的巨大一步, 此后的工作基本上沒有很多地超过。

因为 Kramers, Wannier, Onsager 等人的工作在数学上讲来是严格的, 所以对他們的工作的評價一般是不低的, 不过必須指出: 將他們的工作应用至实际的晶体, 是有很多困难的。他們的方法既不能应用至三維空間中的任何晶点陣, 也不易將非最近邻对的原子間的作用考虑进去。看来用代数方法来研究三維的晶点陣的秩序化問題有待于更多的工作。这本书的譯出, 希望引起代数学者对此問題的注意。

关于这个問題, 讀者还可以閱讀 E. Montroll 在 Review Modern Physics 25(1953), 353 的总结, 以及 Arnold Münster 所著 Statistical Thermodynamics (Berlin, Springer, 1956) 一书中的叙述。因为 Onsager 論文数学气息較重, 一般統計物理书中

都不列入。Münster 书中对此及其他研究合作現象的数学方法都有所介紹,当然对 Onsager 理論的介紹不如本书的詳尽。